



COWI



Landsdækkende screening af geotermi i 28 fjernvarmeområder

Bilag 3: Områderapport for Haderslev

Indholdsfortegnelse

- Introduktion
- Data for fjernvarmeområder (COWI)
- Beregning af geotermianlæg (DFG)
- Beregningsresultater vedr. indpasning af geotermi (Ea)
- Geologisk vurdering (GEUS)

Introduktion

Dette er én ud af 28 områderapporter, som viser specifikke økonomiske og produktionsmæssige resultater for hvert enkelt område. Rapporten er et bilag til hovedrapporten "Landsdækkende screening af geotermi i 28 fjernvarmeområder", og bør læses i sammenhæng med denne, da hovedrapporten indeholder information, der er væsentlig for at forstå resultatet. Rapporten er udarbejdet for Energistyrelsen af Dansk Fjernvarmes Geotermiselskab, COWI og Ea Energianalyse i perioden efteråret 2013 til sommeren 2015.

Områderapporten indeholder den af GEUS udførte geologiske vurdering, COWIs beskrivelse af fjernvarmeområdet og den fremtidige forsyningsstruktur, Dansk Fjernvarmes Geotermiselskabs beregninger af de økonomiske og tekniske forhold i et geotermianlæg i fjernvarmeområdet, og Ea Energianalyses modelresultater fra Balmorel med varmeproduktionskapaciteter, fjernvarmeproduktion og -omkostninger over året for de fire scenarier i årene 2020, 2025 og 2035.

Resultaterne skal tages med en række forbehold.

Først og fremmest skal det understreges, at der er tale om en screening med det formål at give en indikation af mulighederne for geotermi. Der er ikke foretaget en fuldstændig analyse af den optimale fremtidige fjernvarmeforsyning i området.

Den geologiske vurdering er alene foretaget for en enkelt lokalitet, svarende til en umiddelbart vurderet fordelagtig placering af geotermianlægget. Der kan derfor ikke drages konklusioner om hele områdets geologiske potentiale og den optimale placering for et eventuelt geotermianlæg.

Modellering af områdets nuværende og forventede fremtidige fjernvarmeproduktion og -struktur er sket ud fra de data, som de var oplyst og forelå i år 2013. Endvidere indeholder optimeringsmodellen en række forudsætninger og forsimplinger, som ikke nødvendigvis afspejler de aktuelle forhold præcist. Der tages således for eksempel ikke hensyn til kapitalomkostninger for eksisterende produktionsenheder, kun for enheder modellen investerer i. Eksisterende anlæg forudsættes at kunne levetidsforlænges indtil år 2035 uden væsentlige reinvesteringer ud over normalt vedligehold. Der skal endvidere tages højde for, at resultaterne ikke er baseret på optimeringer for hver enkelt by, men en optimering for hele systemets energiomkostninger. Der er ikke udført usikkerheds- og følsomhedsberegninger for hvert område, men derimod lavet et generelt eksempel på geotermianlæggets følsomhed overfor ændringer af de vigtigste inputparametre, se afsnit 5.2 i hovedrapporten.

MEMO

TITEL
DATO
TIL
KOPI
FRA
PROJEKTNR

Haderslev - Beskrivelse fjernvarmeområde
17. februar 2014
Energistyrelsen

COWI (Else Bernsen/Kurt Madsen)
A044062

ADRESSE COWI A/S
Parallelvej 2
2800 Kongens Lyngby

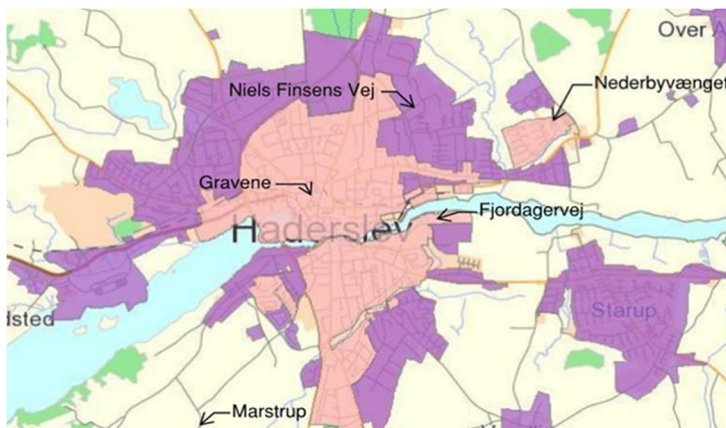
TLF +45 56 40 00 00
FAX +45 56 40 99 99
WWW cowi.dk

SIDE 1/5

1 Haderslev Fjernvarme

1.1 Nuværende forsyningsområde

Fjernvarmeområdet i Haderslev by omfatter den centrale og sydlige del af byen. Området forsynes fra Haderslev Fjernvarmes centraler på Fjordagervej, Gravene og Niels Finsens Vej.



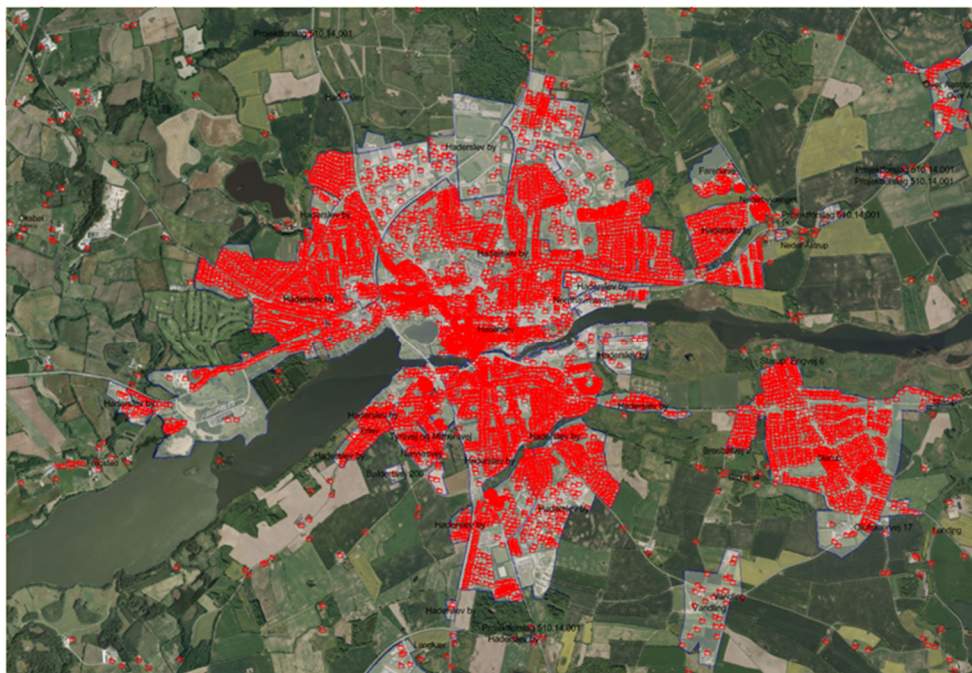
Fjernvarmeområdet ved Nederbyvænget forsynes fra Haderslev Fjernvarmes central på Nederbyvænget, samtidig med at der er etableret en sammenkobling til det øvrige fjernvarmenet i Haderslev by.

Haderslev Fjernvarme har en vision om at tilbyde alle gasområder i Haderslev by, Starup og Marstrup tilslutning til fjernvarme inden år 2025.

Haderslev fjernvarme overvejer at udarbejde projektforslag for konvertering af disse områder, efter at Varme- og Energiplanen for Haderslev Kommune er endelig godkendt i byrådet.

Der er et konverteringspotentiale i Haderslev by på 72 GWh, i Starup er der et konverteringspotentiale på 14 GWh og i Marstrup er der et konverteringspotentiale på 5 GWh. Haderslev Kommunes Boligprogram omfatter mulighed for etablering af 652 boliger i Haderslev by frem til 2020, som potentielt vil kunne blive forsynet med

fjernvarme. Gasområderne i Haderslev by, Starup og Marstrup består af bolig, offentlig og erhvervsmæssig bebyggelse. Det tænkte fjernvarmeområde (ekskl. Marstrup) er vist i kortet nedenfor.

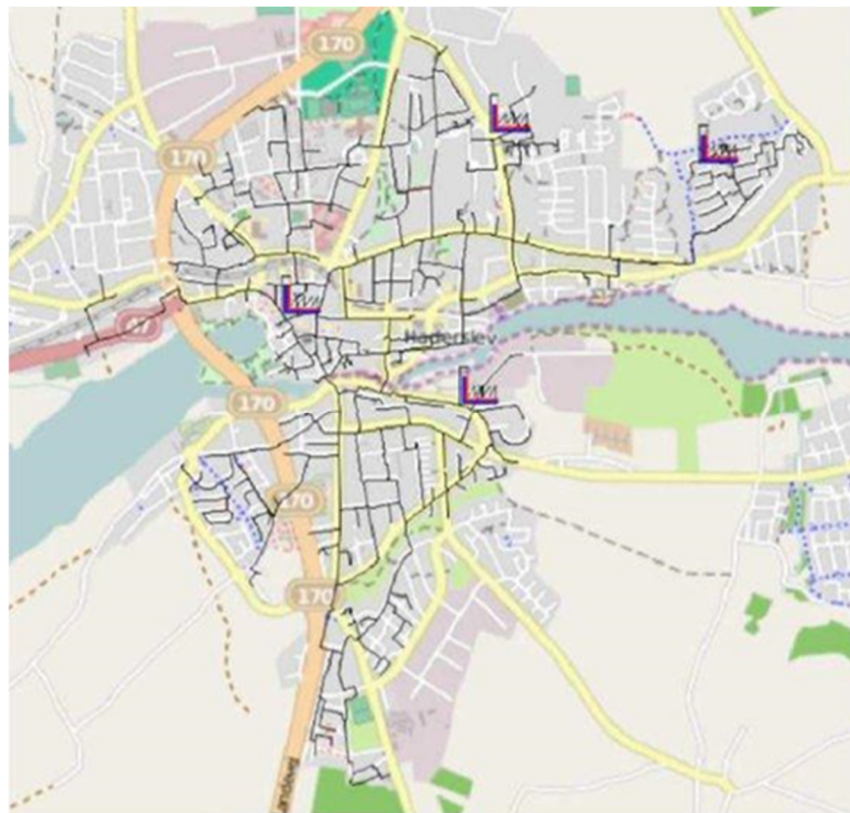


Nedenstående tabel angiver varmebehovet for Aabenraa – Rødekro Fjernvarme.

Varmegrundlag					
Haderslev Fjernvarme					
MWh/år	2012	2013	2015	2025	2035
Varmesalg *	146.991	146.991	146.991	146.991	146.991
Konvertering **		48.884	57.344	74.414	74.414
Varmesalg efter konvertering		195.875	204.335	221.405	221.405
Energibesparelser **		1.959	6.130	28.783	42.067
Varmesalg efter konvertering og energibesparelser	146.991	193.916	198.205	192.623	179.338
Distributionstab	25.719	33.971	35.624	38.852	38.852
An net	172.710	227.888	233.829	231.474	218.190
TJ/år					
Nettovarme	529	698	714	693	646
Distributionstab	93	122	128	140	140
An net	622	820	842	833	785
Energistyrelsens Udbud angiver som gns 5 år	577 TJ/år samlet an net				
*Varmeslag i 2012 er målt til 133.961 MWh og graddagekorrigeret til 146.991 MWh. Nettab udgør 15%					
Energistyrelsens udbud angiver som gns 5 år svarer til at der ikke graddagekorrigeres!					
**Prognosen er baseret på Kommunens strategiske varmeplan arbejde 2013					

1.2 Nuværende produktionsstruktur

Forsyningsnettet samt placering af produktionsanlæg er illustreret på nedenstående figur. Produktionskapacitet fremgår af efterfølgende tabel.



Eksisterende produktionsanlæg - baseret på energiproducenttællingen 2012

Anlægsnavn	Anlægstype	Hovedbrændsel	Varme produktion i 2012 (TJ)	*Brændsels forbrug 2012 (TJ)	Indfyret effekt (MW)	Eleffekt (MW)	Varme effekt (MW)	Elvirknings grad	*Varme virknings grad	Etablerings år	Forventet udfasning år	Brændselsfordeling			
												Affald	Halm	Biomasse affald	
Haderslev															
Haderslev Kraftvarmeværk - Dybkær/Knokbjerg - Marstrup	Damp turbine	Affald	332	624	24	6	15	23%	53%	01-01-1993	01-07-2013	595,2	1,4	27,1	
Flisfyret varmeværk - Dybkær/Knokbjerg - Marstrup	Kedel	Flis			20		20		100%	01.07.2013					
Varmecentral Gravene	Kedel	Gas	80	80	33	0	34		104%	01-09-1959					
Fjordagervej central	Decentral Gasmotoranlæg	Gas	31	58	15	6	8	41%	52%	01-08-2005					
Fjordagervej central	Kedler	Gas	47	48	19	0	20		103%	01-01-1967					
Niels Finsens Vej	Decentral Gasmotoranlæg	Gas	0	0	3	1,0	2	37%	56%	01-11-1997					
	Kedel	Flis	86	81	24	0	21		90%	01-01-2009					
	Kedel	Gas	6	6	7	0	7		103%	15-01-2009					
Nederbyvænget	Kedel	Gas	13	14	3	0	3		100%	01-09-1986					
Total				595			129								

Oplysningerne i energiproducenttællingen er baseret på indmeldinger fra selskaberne. Data skal suppleres/verificeres i forbindelse med den videre proces.

* Varmevirkningsgraderne er baseret på de angivne værdier for indfyret effekt og varme effekt bortset fra kraftvarmeanlæggene hvor varmekoefficienten er baseret på brændsel til varme og produktion af varme. For det nye flisfyrede varmeanlæg er virkningsgraden skønsmæssigt ansat.

Anlæggenes geografiske placering er vist på nedenstående figur.



Indtil d. 1. juli 2013 blev der leveret varme fra det affaldsfyrede kraftvarmeværk ved Marstrup. Fra Knokbjerg i Marstrup, sendes fjernvarmevandet med temperatur på omkring 85 grader gennem en ca. 7,5 km lang højisoleret transmissionsledning ind til Haderslev Fjernvarmes varmecentral på Gravene.

Kraftvarmeværket var tidligere ejet af DONG Energy A/S men er d. 1. juli 2013 blevet overtaget af Haderslev Fjernvarme. Haderslev Fjernvarme har besluttet at lukke affaldsforbrændingsanlægget pr. 1. juli 2013 og etablere et nyt flisfyret varmeværk på 2 x 10 MW, som planlægges idriftsat ultimo 2014.

På Fjordvej findes et naturgasfyret kraftvarmeanlæg og nogle spidslastkedler. I Nordbyen findes endvidere et flisfyret varmeproduktionsanlæg og spidslastkedel.

På central Gravene i midtbyen (der hvor transmissionsledningen fra Marstrupanlægget er koblet til distributionsnettet) er der naturgasfyrede spidslastkedler

Det samlede teoretiske maksimale effektbehov i Haderslev er oplyst til ca. 56 MW. I Tabel 2 er angivet en oversigt over de anlæg, der producerer varme til Haderslev, hvor den samlede kapacitet udgør 87 MW. Kapaciteten udvides til 92 MW når det affaldsfyrede kraftvarmeværk er nedlagt og de nye flisfyrede varmeværk er opført ultimo 2014.

DF har gennemført en treårig strukturanalyse for medlemsselskaberne og har i denne angivet nedenstående temperaturforhold for fjernvarmesystemet i Haderslev.

Sommer an net		Vinter an net	
Fremløb	Retur	Fremløb	Retur
[°C] 2010 - 3 årig strukturanalyse			
72	42	82	40

Haderslev Fjernvarme havde et energiforbrug på ca. 57.000 MWh naturgas, ca. 140.000 MWh affald og ca. 20.000 MWh træflis i 2011/2012. I dag udgør VE i form af affaldsvarme og flisvarme 70 % af varmeproduktionen. Denne andel forventes at stige til 80-90 % når affaldsforbrændingsanlægget er nedlagt og den nye 20 MW flisfyrede central er i drift fra 2014.

Fra 2015 vil træflis erstatte affalds forbruget og en del af naturgasforbruget, i det det planlagte flisfyrede værk får en større kapacitet end affaldsforbrændingsanlægget havde. Med det nye flisfyrede anlæg på Knokbjerg i Marstrup, vil ca. 80-90% af Haderslev Fjernvarmes varmeproduktion være CO₂-neutral.

1.3 Fremtidig forsyningsstruktur

På længere sigt, hvis fjernvarmeområdet udvides vil Haderslev Fjernvarme sandsynligvis fortsætte udbygningen af varmeproduktionskapaciteten med yderligere fliskedler.

På længere sigt, når fjernvarmeområdet er udvidet kan Haderslev Fjernvarme fortsætte udbygningen af varmeproduktionskapaciteten med yderligere biomassekedler eller solvarme. Store eldrevne varmepumper kan endvidere være et alternativ til en eventuel udbygning baseret på geotermi.

Drivenergi til et eventuelt geotermianlæg kan etableres i form af et nyt produktionsanlæg i industriområdet på Niels Finsensvej. Kobling af et eventuelt geotermianlæg direkte til distributionssystemet kan eventuelt være en mulighed ved en sådan placering. Den nuværende transmissionsledning fra Marstrup er i dag fuldt udnyttet.

I forbindelse med screeningen er det valgt at tage udgangspunkt i en placering af et eventuelt geotermianlæg på adressen Niels Finsens Vej 6, 6100 Haderslev.

Projekt:	Landsdækkende screening af geotermi i fjernvarmesystemerne
Til:	Ea Energianalyse & COWI
Kopi:	GEUS
Fra:	Birte Røgen, Allan Mahler, Malthe Jacobsen & Asger Løngreen, Dansk Fjernvarmes Geotermiselskab
Dato:	3. juli 2015
Emne:	Beregning af et geotermianlæg ved Haderslev

1 Indledning

Dansk Fjernvarmes Geotermiselskab, COWI og Ea Energianalyse har for Energistyrelsen udført beregninger af de økonomiske og tekniske forhold i et geotermianlæg ved Haderslev. Beregningerne er udført som en del af et større analysearbejde omfattende 28 fjernvarmeområder i Danmark.

Anlægsberegningerne er udført på baggrund af geologiske data leveret af De Nationale Geologiske Undersøgelser for Danmark og Grønland (GEUS) og data for fjernvarmeforsyningen i Haderslev leveret af COWI på baggrund af forskellige datakilder, herunder data indhentet hos Haderslev Fjernvarme.

Bemærk at anlægsberegningerne tager udgangspunkt i en placering på Niels Finsensvej, som er en anden lokalitet end den beskrevet i GEUS rapporten. GEUS vurderer at der ikke er store forskelle (mailkorrespondance med Morten Sparre Andersen), men at Bunter Sandstens formationen forventes at ligge lidt højere og være lidt tyndere end ved den beskrevne lokalitet. Reservoirkvaliteten antages at være ens. Der er mindre dækning med eksisterende seismik ved Niels Finsens vej, så der skal forventes et lidt større seismisk program for at dække denne lokalitet.

2 De geologiske forudsætninger

Fastlæggelsen af de geologiske forudsætninger bygger på GEUS notat "Haderslev_2014_01_31.docx". Geologisk set ligger Haderslev i det Nordtyske Bassin som har mere end 3 km tykke sedimenter. I regionen er lagene i flere områder påvirket af saltbevægelse og ledsagende forkastningsaktivitet, hvilket gør, at nogle lag varierer meget i dybde, tykkelse og kontinuitet. Det forventes at geotermiske sandstensreservoirer hovedsageligt er til stede i Bunter Sandsten Formationen, da Gassum Formationen ikke forventes til stede i Haderslev-området. Efter kommunikation med fjernvarmeselskabet har det vist sig at de helst ser et geotermianlæg placeret ved Niels Finsensvej 6, Haderslev. I GEUS-rapporten om Haderslev er der fokuseret på Dybkær 2, 6100 Haderslev. GEUS har vurderet at Bunter Sandsten Formationen ligger omtrent 60 m højere og nok er 30 m tyndere ved den nye lokalitet. Derudover antages reservoirgenskaberne som bestemt ved Dybkær. Der bliver behov for mere omfattende seismiske forundersøgelser for den ny Haderslev-lokalitet end for den gamle. De geologiske data, der indgår i beregningerne, er vist i Tabel 1.

Formation		Bunter Sst.
Dybde@midt reservoir	m TVD	1345
Temperatur@midt reservoir	°C	50
Tykkelse af formation	m	170
Tykkelse af potentielt reservoirsand	m	25
Transmissivitet	Dm	5

Tabel 1: Geologiske reservoirdata for et geotermianlæg ved Haderslev.

Det skal bemærkes at der er risiko for at det geotermiske vand er mættet med salt, hvilket giver risiko for udfældningsproblemer ved produktion.

3 Forudsætninger for fjernvarmesystemet

Forudsætningerne for fjernvarmesystemet er beskrevet i rapporten "Beskrivelse af fjernvarmeområder gruppe 1 og 2, COWI 17. februar 2014". Data fra denne rapport er til brug for beregningerne sammenfattet i Tabel 2.

Varmegrundlag	TJ/år	842
Eksisterende produktionsanlæg med forret. Antages tilgængelig som drivvarme.	MW	0
Fremløbstemperatur vinter	°C	82
Returløbstemperatur vinter	°C	40
Fremløbstemperatur sommer	°C	72
Returløbstemperatur sommer	°C	42
Mindste varmeeffekt (sommereffekt)	MW	Standard kurve

Tabel 2: Energiforudsætninger for et geotermianlæg ved Haderslev.

4 Beregninger for et geotermianlæg

Beregningerne er udført med geotermiPRO, en konceptberegningsmodel for geotermiske anlæg. Programmet arbejder ud fra en anlægskonstellation med varmevekslere og varmepumper og muligheden for at opdele anlægget med geotermivandskreds og varmepumpekreds på to lokaliteter (se bilag om geotermiPRO).

I beregningerne er varmegrundlaget taget i betragtning i form af en varighedskurve, og der er foretaget en vægtet midling af temperaturniveauerne over året. Det forudsættes at geotermien sammen med anlæggene til driv- og eftervarme vil udgøre grundlast i fjernvarmeforsyningen.

De tekniske og økonomiske forudsætninger for beregningerne fremgår i øvrigt af notatet "Generelle forudsætninger for beregning af geotermianlæg".

I standardberegningen forudsættes der anvendt absorptionsvarmepumper, og drivvarme forudsættes at være til stede ved 160 °C. Det forudsættes at varmen fra eksisterende forbrændingsanlæg kan benyttes som drivvarme. På anlægsskitsen i output fra geotermiPRO, som vises i resultatafsnittet er der kun vist én absorptionsvarmepumpe, mens der i praksis kan være tale om et antal absorptionsvarmepumper i serie.

5 Resultater

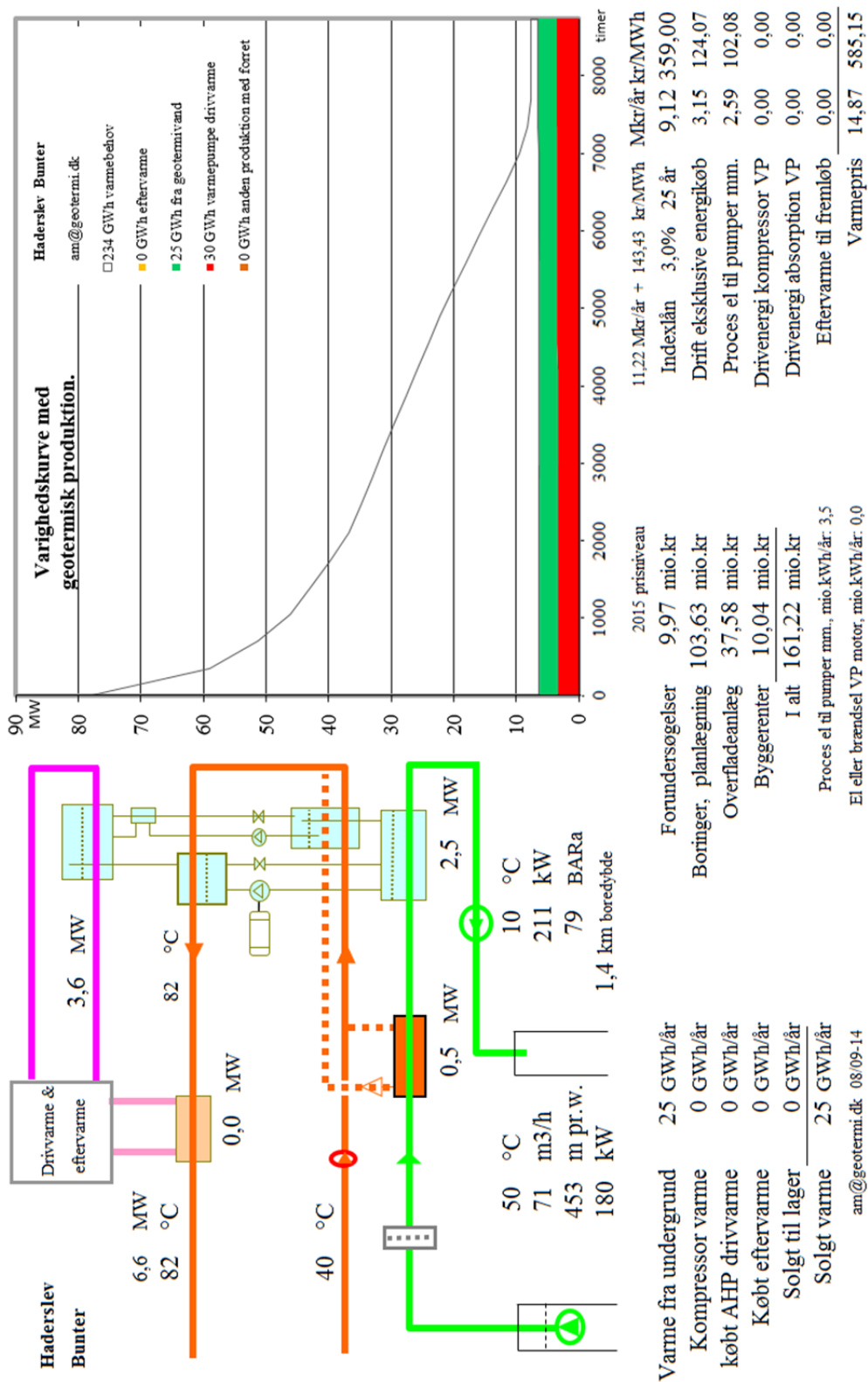
Resultaterne af anlægsberegningen er samlet i den følgende Tabel 3. Desuden vises resultaterne i figur 1, der indeholder anlægsskitse med energibalance, varighedskurve med geotermibidrag samt økonomiske nøgletal.

En anlægsberegning for et anlæg med absorptionsvarmepumper og placeret på én lokalitet, standardberegningen, viser at der med en samlet investering på 160 mio. kr. kan etableres et geotermianlæg med en kapacitet på 3 MW varme fra undergrunden og en total effekt inklusiv driv- og eftervarme på 6,6 MW.

Med de generelle forudsætninger, herunder antagne energipriser og kalkulationsrente, resulterer dette i en årlig varmeproduktion fra undergrunden på 25 GWh/år og en forventet varmepris for geotermivarmen på 585 kr./MWh.

Resultaterne i Tabel 3 skal benyttes i de videre beregninger af scenarier og landsbilleder for geotermi i fjernvarmesystemerne, og indeholder derfor ikke omkostninger til energikøb i de variable drift- og vedligeholdelsesomkostninger. Ligeledes er afskrivning og forrentning af anlægsinvesteringerne ikke medtaget i tabellen.

Usikkerheden på anlægsstørrelsen er vurderet til at være høj.



Figur 1: Output fra geotermiPRO.

Beregningsresultater Geotermianlæg ved Sønderborg	Enhed	A) Absorptions varmepumper		B) El- varmepump er	C) Kombination Absorptions og el VP
		Samlet anlæg	Opdelt anlæg	Samlet anlæg	
Anlægs kapacitet (vinter)					
1) Effekt fra geotermivand	MW	3,053			
2) Effekt fra drivvarme	MW	3,582			
3) Effekt fra eftervarme	MW	0,000			
4) Varmeeffekt til fjernvarmevand	MW	6,633			
5) Proces el	MW	0,415			
6) Varmepumpe el	MW	N/A			
Årsenergiomsætning, forholdstal					
7) Varme fra geotermivand	%	100,000			
8) Drivvarme	%	119,201			
9) Eftervarme	%	0,000			
10) Varme til fjernvarmevand	%	219,201			
11) Proces el forbrug	%	13,610			
12) Varmepumpe el forbrug	%	N/A			
Investeringsomkostninger					
13) Samlet investering	mio. kr	151,176			
14) Byggerenter	mio. kr	10,042			
Driftsomkostninger					
15) Faste D&V omkostninger	mio. kr./år	2,102			
16) Variable D&V omkostninger, eksklusiv energiforbrug, per MWh varme produceret fra geotermivand	kr./MWh	41,356			

Tabel 3: Resultater fra anlægsberegninger i geotermiPRO.

Noter til Resultatark:

- 1) Effekt fra geotermivand: Den effekt, der stammer fra undergrunden, ved drift i vinterperioden.
- 2) Effekt fra drivvarme: Effekt i form af varme til absorptionsvarmepumper, ved drift i vinterperioden.
- 3) Effekt fra eftervarme: Effekt i form af eftervarme til at hæve temperaturen efter varmepumperne, ved drift i vinterperioden.
- 4) Total effekt til fjernvarmevandet, ved drift i vinterperioden (inkl. efter- og drivvarme)
- 5) Proces el effekt til geotermianlæg, ved drift i vinterperioden
- 6) El effekt til varmepumper, ved drift i vinterperioden

- 7) Årsenergiomsætning, varmemængde produceret fra geotermivand (%). Årsenergiomsætningerne er beregnet med en vægtet kombination af sommer- og vinterdrift.
- 8) Årsenergiomsætning, drivvarmemængde per varmemængde produceret fra geotermivand (%)
- 9) Årsenergiomsætning, eftervarmemængde per varmemængde produceret fra geotermivand (%)
- 10) Årsenergiomsætning, total varmemængde til fjernvarmevand per varmemængde produceret fra geotermivand (%)

- 11) Årsenergiomsætning, proces el forbrug per varmemængde produceret fra geotermivand (%)
- 12) Årsenergiomsætning, varmepumpe el forbrug per varmemængde produceret fra geotermivand (%)
- 13) Samlet investering i geotermianlæg inklusiv varmepumper men ekskl. drivvarmeanlæg. Prisniveau 2015 (uden byggerenter)
- 14) Byggerenter for mellemfinansiering i byggeperioden (3% realrente p.a.)
- 15) Faste drifts- og vedligeholdelsesomkostninger for anlægget (uanset driftstid)
- 16) Variable drifts- og vedligeholdelsesomkostninger ekskl. energiforbrug. Årlige variable omkostninger til drift og vedligehold i forhold til årlig varmemængde produceret fra geotermivand.

Kolonne C): Svarende til et geotermianlæg med både absorptions- og el varmepumper. Anlægget kan skiftevis drives med absorptions- eller el-varmepumper.



De efterfølgende sider indeholder en specifik resultatrapport for Haderslev. De fire scenarier som der vises resultater for er:

1. Ref.: Reference scenarie med fastholdelse af det nuværende system og de af fjernvarmeselskaberne planlagte udvidelse indtil 2020. Fra 2020 er "verden forlænget med brædder". Dette scenarie er altså et "status-quo" scenarie.
2. Ref.m.geo.: Reference scenariet med anlagt geotermianlæg. Anlæggets størrelse og tekniske specifikationer er udregnet af Dansk Fjernvarmes Geotermiselskab. Scenariet kan sammenlignes med Reference scenariet og vise hvorledes et geotermianlæg vil konkurrere i områdets nuværende system.
3. Alt.: Alternativ scenariet er hvor systemerne ikke er forlænget med brædder, men i stedet har investeret i nye teknologier, primært biomasse kraftvarme, solvarme og varmepumper.
4. Alt.m.geo.: Dette er et alternativt scenarie, hvor der før man har investeret i nye teknologier har implemeteret et geotermianlæg. Det vil derfor stadig investere i nye teknologier, men i mindre omfang. Dette scenarie kan sammenlignes med Alternativ scenariet og se geotermianlægs konkurrenceforhold i et mere grønt system.

De to scenarier Ref. og Alt. er valgt for at ramme en stagnering og ekspanderende udvikling af grønne teknologiindfasning. I nogle systemet vil man være tættest på det ene og i andre tættest på det andet. De fire scenarier er forklaret i større detalje i hovedrapporten "Landsdækkende screening af geotermi i 28 fjernvarmeområder - Beregning af geotermianlæg og muligheder for indpasning i fjernvarmeforsyningen."

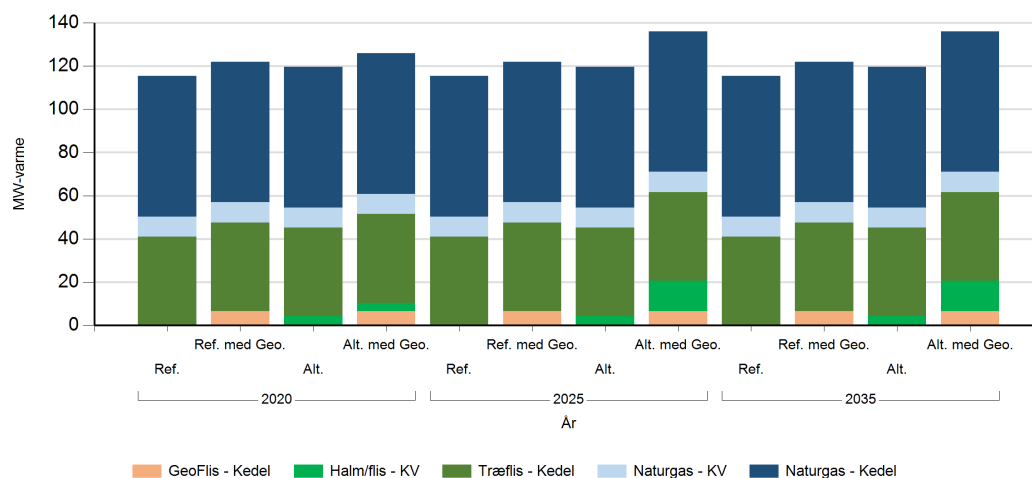
Denne rapport viser varmeproduktionskapaciteter, årlig fjernvarmeproduktion og månedlig fjernvarmeproduktion. Figur- og tabelforklaring er som følger:

- Figur 1: Fjernvarmeproduktionskapacitet fordelt på brændsler og anlægstyper
- Figur 2: Fjernvarmeproduktion i forhold til fjernvarmebehov
- Figur 3: Fjernvarmeproduktion fordelt på brændsler og anlægstyper
- Figur 4: Brændselsforbrug for fjernvarmeproduktion fordelt på brændsler
- Figur 5: Varmelastfordeling over året fordelt på brændsler og anlægstyper
- Figur 6: Samlede varmeproduktionsomkostninger for området (mio. kr.)
- Figur 7: Samlede varmeproduktionsomkostninger for området (kr./GJ)

- Tabel 1: Fjernvarmeproduktionskapacitet fordelt på brændsler og anlægstyper
- Tabel 2i: Solvarmeanlæg i m²
- Tabel 2ii: Fjernvarmeproduktion fordelt på brændsler og anlægstyper
- Tabel 3: Brændselsforbrug for fjernvarmeproduktion fordelt på brændsler
- Tabel 4: Fulldlasttimer for varmeproduktionsenhederne.

Kapaciteter

Fjernvarmeproduktionskapacitet - fordelt på brændsler og anlægstyper



Figur 1: Udvikling i fjernvarme-produktionskapacitet for Haderslev fordelt på brændsler og anlægstyper. For alle fjernvarmeområder er der yderligere indsat tilstrækkelig oliespidslastkapacitet til at dække spidsbehovet.

Fjernvarmeproduktionskapacitet - fordelt på brændsler og anlægstyper

MW Brændsel og Anlægstyper	2020				2025				2035			
	Ref.	Ref. med Geo.	Alt.	Alt. med Geo.	Ref.	Ref. med Geo.	Alt.	Alt. med Geo.	Ref.	Ref. med Geo.	Alt.	Alt. med Geo.
Naturgas - Kedel	65.0	65.0	65.0	65.0	65.0	65.0	65.0	65.0	65.0	65.0	65.0	65.0
Træflis - Kedel	41.0	41.0	41.0	41.0	41.0	41.0	41.0	41.0	41.0	41.0	41.0	41.0
Naturgas - KV	9.3	9.3	9.3	9.3	9.3	9.3	9.3	9.3	9.3	9.3	9.3	9.3
GeoFlis - Kedel		6.6		6.6		6.6		6.6		6.6		6.6
Halm/flis - KV			4.2	3.8			4.2	14.1			4.2	14.1

Tabel 1: Udvikling i fjernvarmeproduktionskapacitet for Haderslev. For alle fjernvarmeområder er der yderligere indsat tilstrækkelig oliespidslastkapacitet til at dække spidsbehovet.

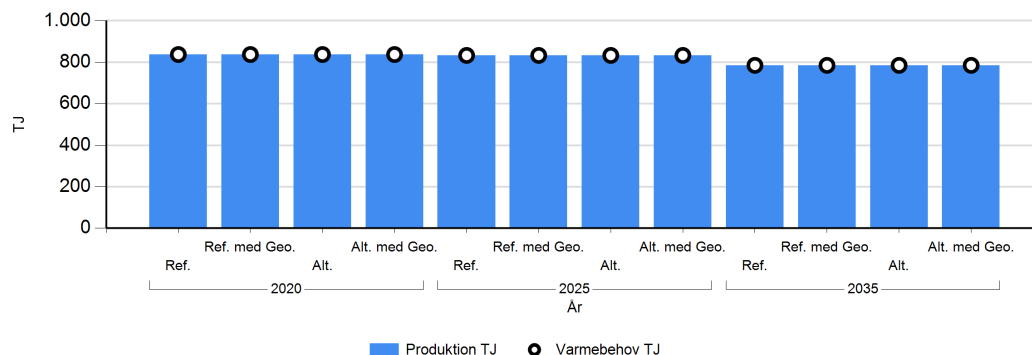
Solvarmeanlæg

m2 Brændsel og Anlægstyper	2025		2035
	Alt.	Alt.	Alt. med Geo.
Solvarme	10.427	23.389	23.389

Tabel 2: Udvikling i kapaciteten af solvarmeanlæg for Haderslev.

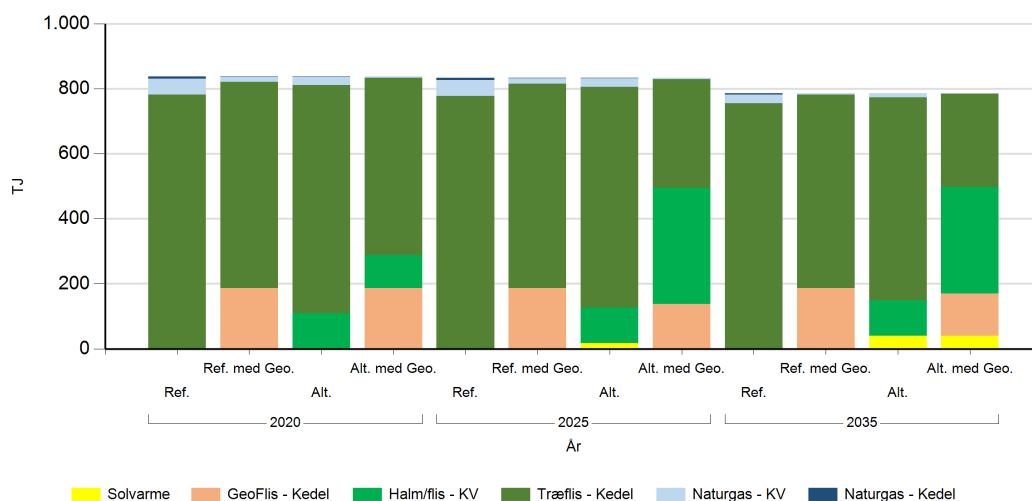
Fjernvarmeproduktion

Fjernvarmeproduktion i forhold til fjernvarmebehov



Figur 2: Fjernvarmeproduktion i forhold til fjernvarmebehov for Haderslev.
Eventuelle forskelle mellem produktion og forbrug afspejler varmetransmission med andre fjernvarmeområder.

Fjernvarmeproduktion fordelt på brændsler og anlægstyper



Figur 3: Fjernvarmeproduktion fordelt på brændsler og anlægstyper for Haderslev.

TJ Brændsler og Anlægstype	2020				2025				2035			
	Ref.	Ref. med Geo.	Alt.	Alt. med Geo.	Ref.	Ref. med Geo.	Alt.	Alt. med Geo.	Ref.	Ref. med Geo.	Alt.	Alt. med Geo.
Solvarme							17,8				40,0	40,0
Halm/flis - KV			109,2	100,1			109,2	356,6			109,0	328,4
Naturgas - Kedel	7,3	0,0	0,9		6,3	0,0	0,5		2,9			
Træflis - Kedel	781,1	633,5	702,0	545,6	778,0	627,2	678,5	333,7	755,8	594,9	624,9	286,4
Naturgas - KV	48,9	16,5	25,1	4,2	48,7	18,5	26,9	4,3	26,6	3,0	11,4	0,1
GeoFlis - Kedel		187,3		187,3		187,3		138,4		187,3		130,2

Tabel 2: Fjernvarmeproduktion fordelt på brændsler og anlægstyper for Haderslev.

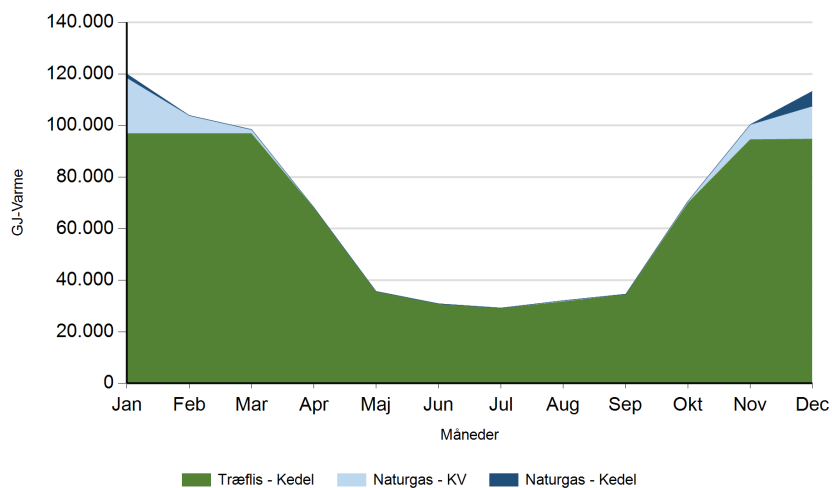
Fuldstimer for varmeproduktion

Fuldst timer	2020				2025				2035			
	Ref.	Ref. med Geo.	Alt.	Alt. med Geo.	Ref.	Ref. med Geo.	Alt.	Alt. med Geo.	Ref.	Ref. med Geo.	Alt.	Alt. med Geo.
Halm/flis - KV			7.249	7.249			7.249	7.024			7.232	6.469
Naturgas - Kedel	31		4		27		2		12			
Træflis - Kedel	5.292	4.292	4.756	3.697	5.271	4.249	4.597	2.261	5.120	4.030	4.233	1.940
Naturgas - KV	1.457	490	747	126	1.452	551	801	128	791	89	339	4
GeoFlis - Kedel		7.884		7.884		7.884		5.824		7.884		5.482

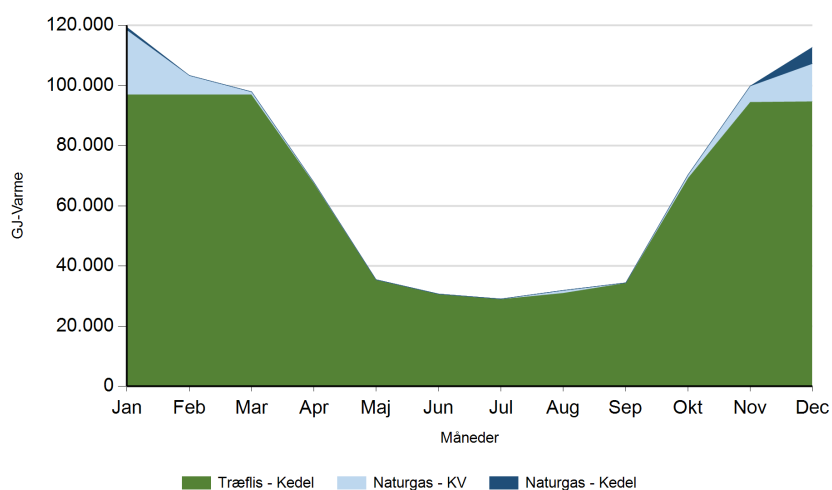
Table 4: Antal af fuldstimer for varmeproduktion i Haderslev.

Månedlig varmeproduktion fordelt på brændsler og anlægstyper for Haderslev.

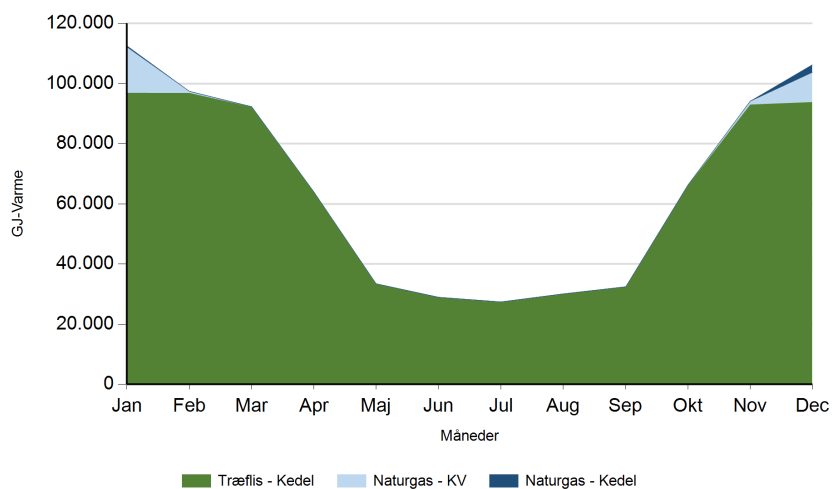
Ref. 2020



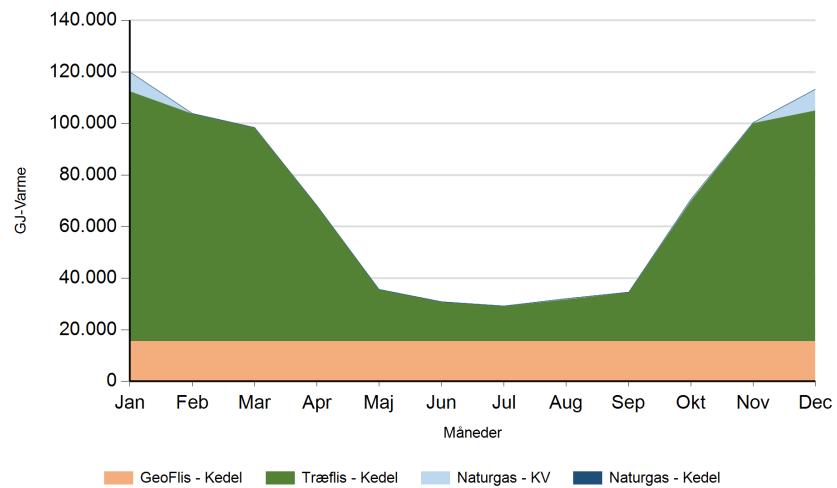
2025



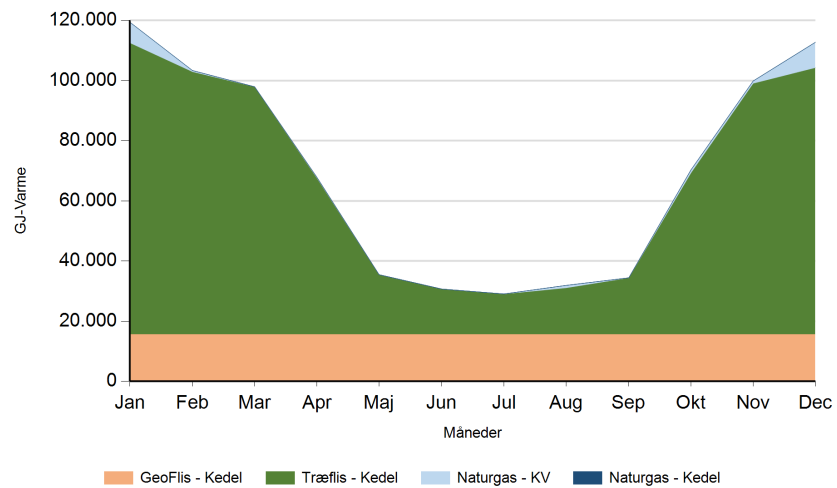
2035



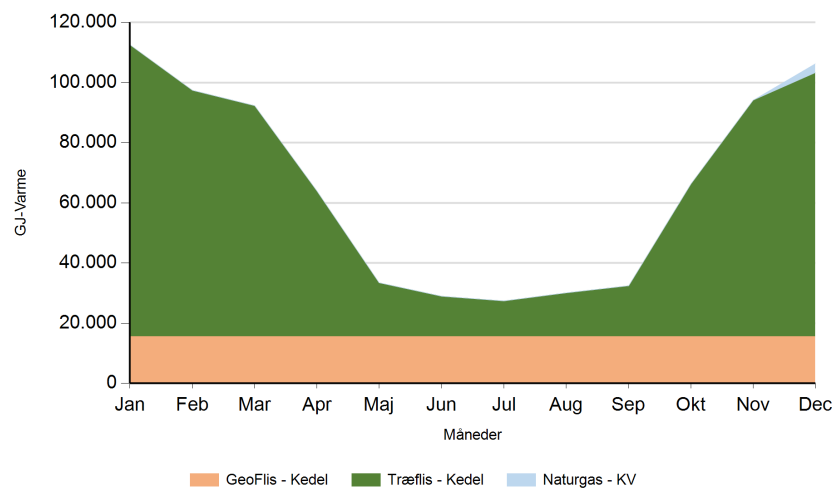
Ref. med Geo. 2020



2025

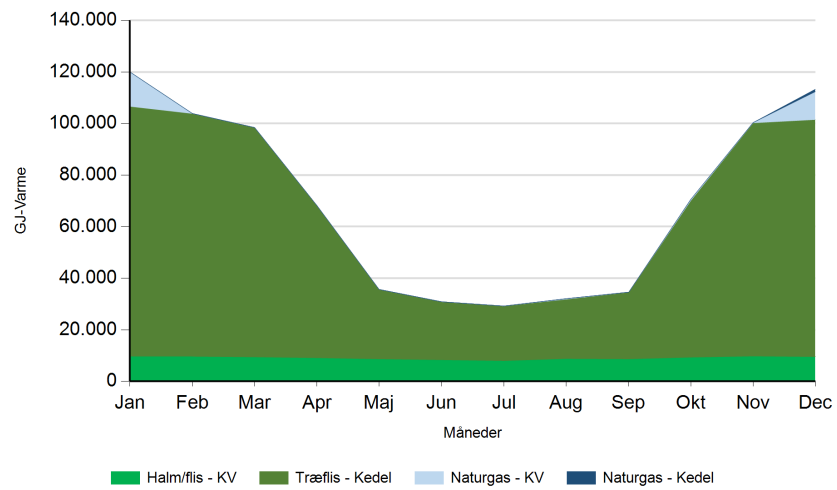


2035

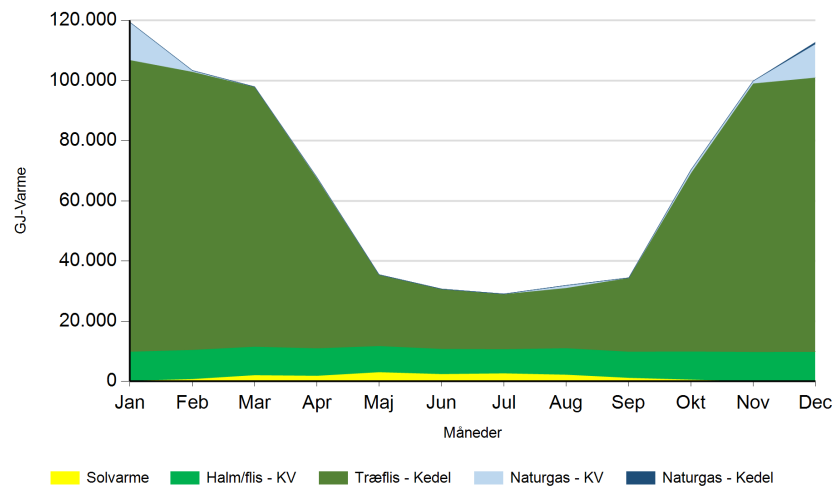


Alt.

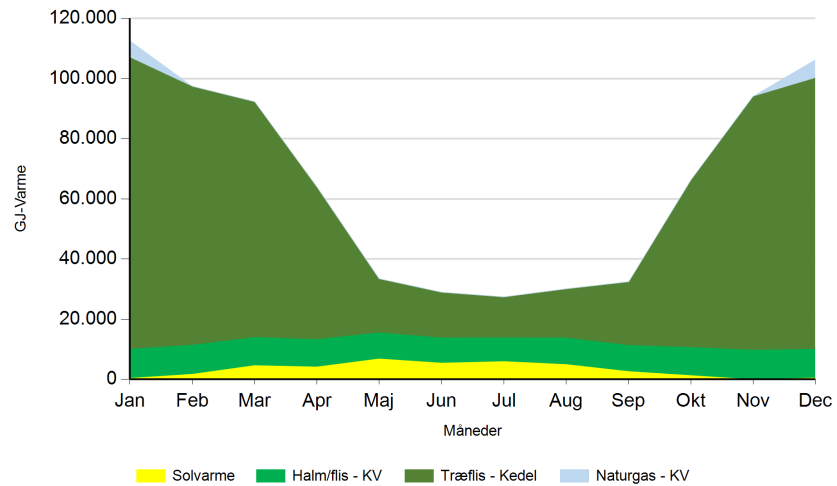
2020

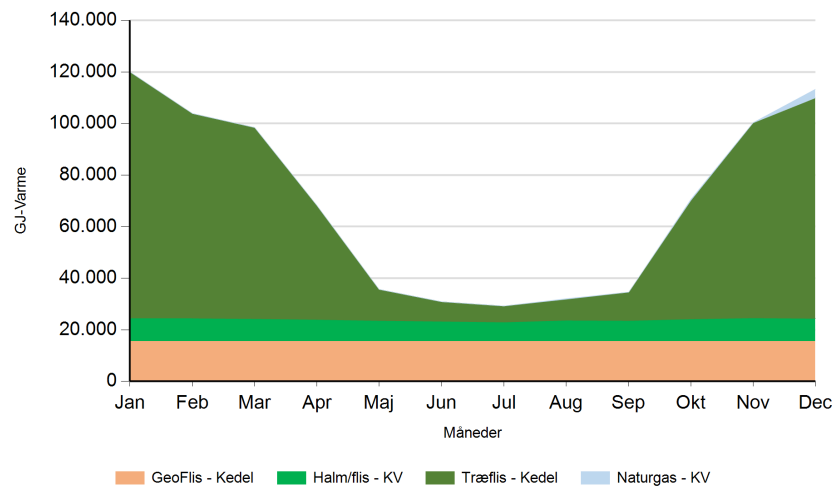
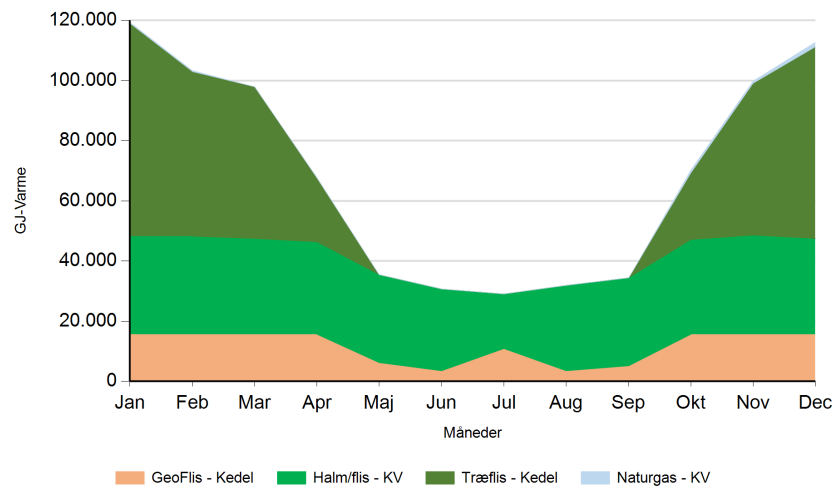
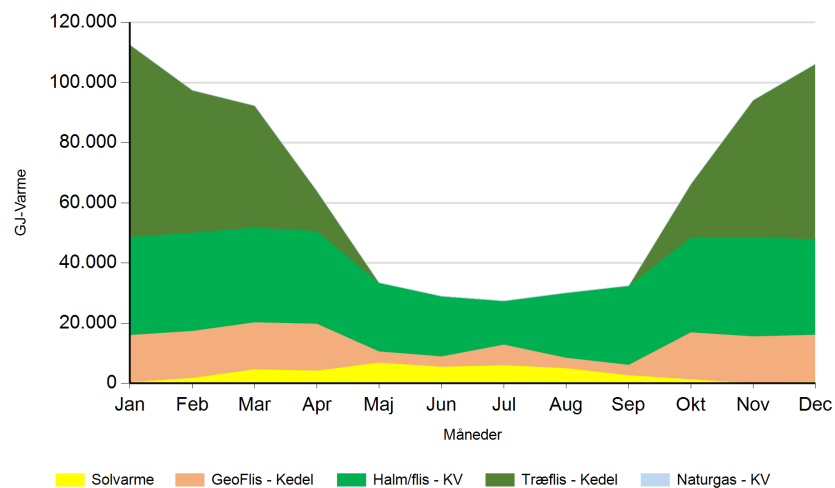


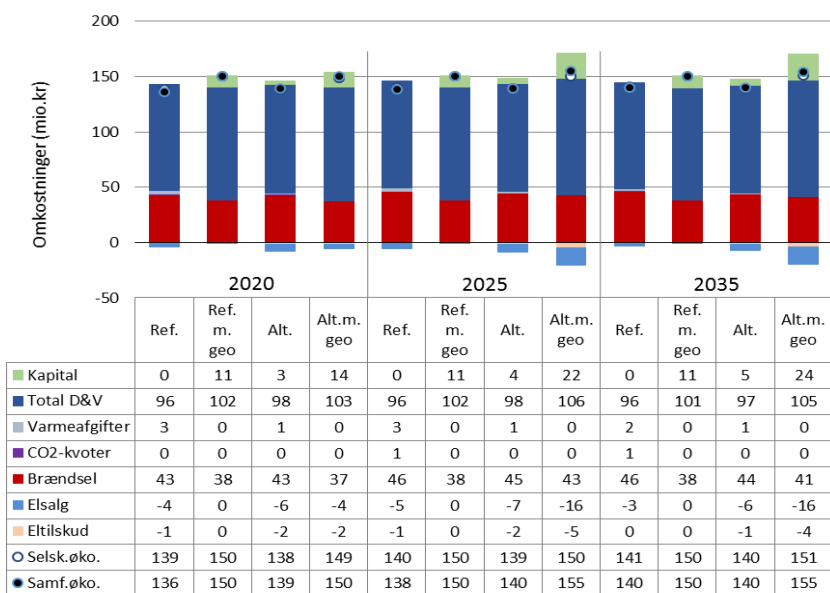
2025



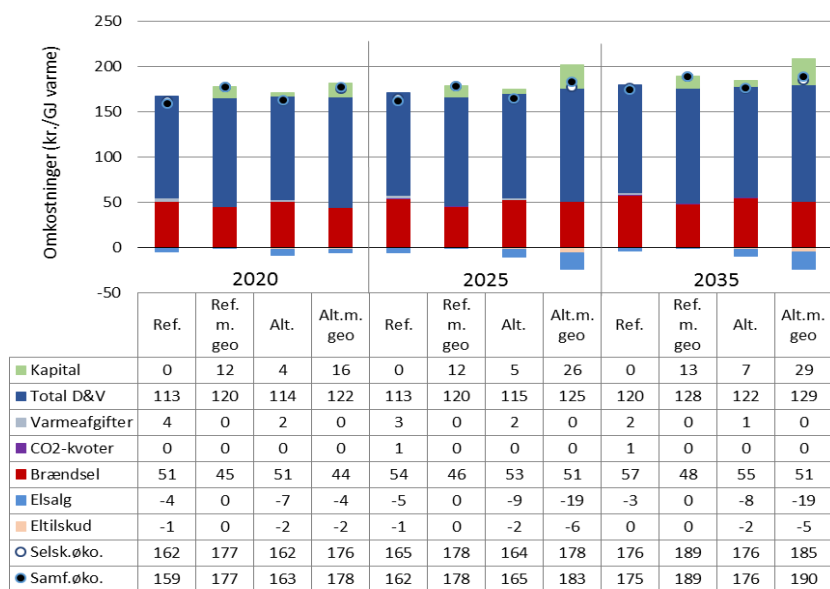
2035



Alt. med Geo. 2020

2025

2035

Figur 5: Fjernvarmeproduktion over året fordelt på brændsler og anlægstyper for Haderslev.



Figur 6: Samlede varmeomkostninger for området Haderslev



Figur 7: Samlede varmeproduktionsomkostninger for området Haderslev

Det geotermiske screeningsprojekt

Haderslev-lokaliteten

Henrik Vosgerau, Anders Mathiesen, Lars Kristensen,
Morten Sparre Andersen, Morten Leth Hjuler & Troels Laier



Indhold

1.	Introduktion	3
2.	Geologisk baggrund	5
3.	Resultater for Haderslev-lokaliteten	8
3.1	Anbefalinger	10
4.	Datagrundlag	11
5.	Gennemgang af data	14
5.1	Udbredelse og kontinuitet af formationer og interne reservoirer	14
5.1.1	Seismisk tolkning og kortlægning.....	14
5.1.2	Boringsdata	16
5.2	Reservoirkvalitet	20
5.2.1	Tolkning af lithologi.....	22
5.2.2	Vurdering af tykkelser, lerindhold og porøsitet	25
5.2.3	Permeabilitet.....	25
5.2.4	Transmissivitet	26
5.3	Temperatur	27
5.4	Salinitet.....	29
6.	Referencer	31

1. Introduktion

I denne rapport præsenteres relevante geologiske data som grundlag for en vurdering af de dybe geotermiske muligheder ved en lokalitet beliggende ca. 5 km sydvest for Haderslev på adressen Dybkær 2, 6100 Haderslev (Figur 1). Udvælgelsen af lokaliteten er sket under hensynstagen til infrastrukturen på overfladen, herunder beliggenheden af eksisterende fjernvarmeanlæg og -net, samt ud fra driftsbetragtninger (primært temperatur og lastforhold).

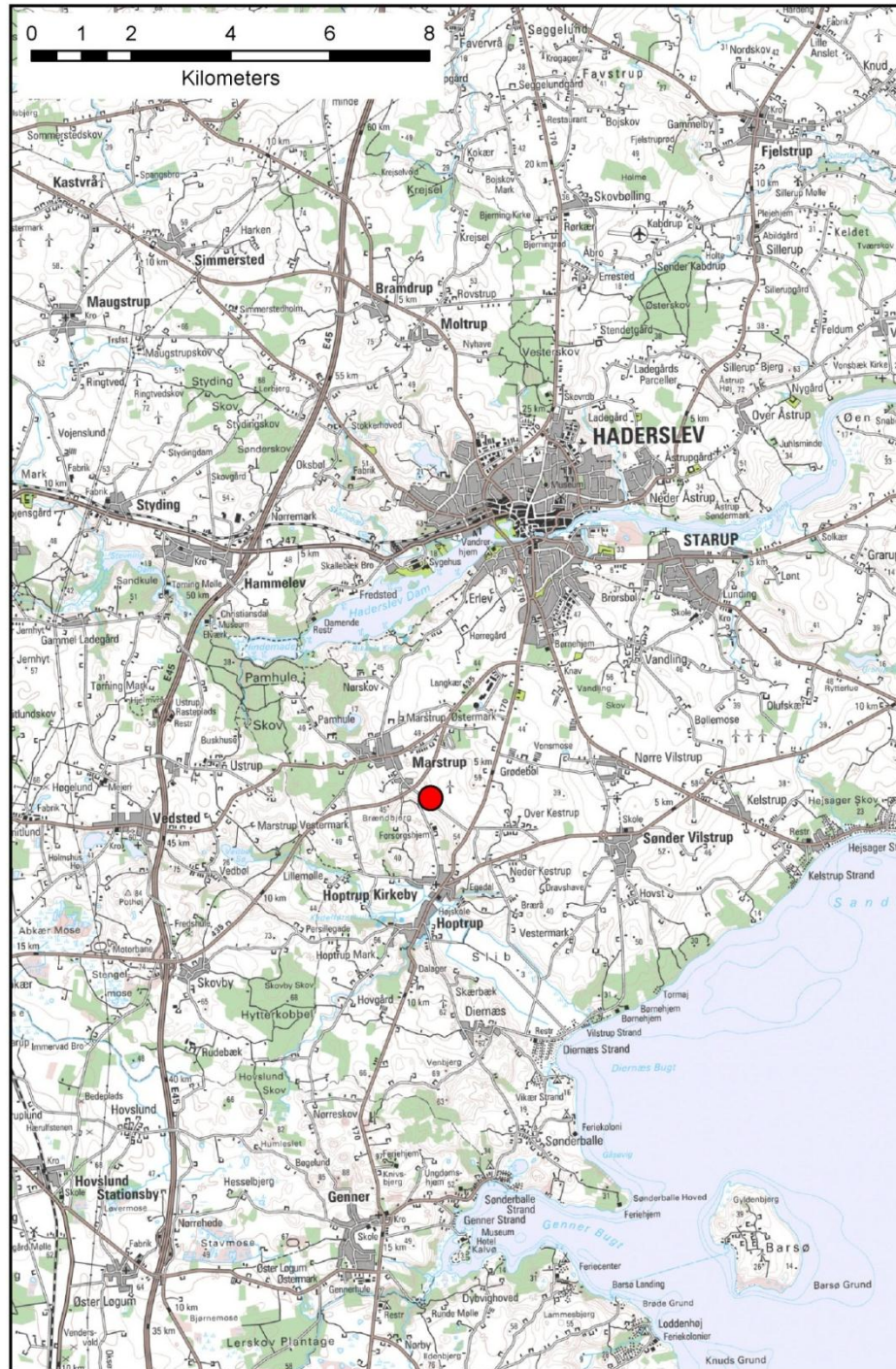
Haderslev fjernvarmeområde udgør ét af 28 fjernvarmeområder, der skal screenes for de geotermiske muligheder ved en udvalgt lokalitet. Screeningen sker for midler afsat i den Energipolitiske aftale af 22. marts 2012. De 28 fjernvarmeområder er valgt ud fra, at deres varmemarked er større end 400 TJ/år, og at de dækker områder, hvor der forekommer formationer i undergrunden, som kan indeholde geotermiske sandstensreservoirer i det rette dybdeinterval for geotermisk indvinding. De geologiske data skal efterfølgende indgå som et input til at estimere varmeeffekt, geotermisk indvindingspotentiale, økonomi m.v. ved en eventuel realisering af et geotermianlæg og til efterfølgende at vurdere samfundsøkonomi samt selskabsøkonomi på det samlede varmemarked ved inkludering af geotermisk varmeproduktion.

De geologiske data fra screeningen af de 28 fjernvarmeområder indgår i en Geotermi WebGIS portal, hvori relevante geologiske data sammenholdes med henblik på at lave en screening af det geotermiske potentiale på landsplan. WebGIS portalen er under udarbejdelse af GEUS for midler, der ligeledes er afsat i den Energipolitiske aftale af 22. marts 2012.

Undergrundens geologiske opbygning kan variere betydeligt over selv korte afstande og som følge heraf, kan det geotermiske potentiale variere tilsvarende. En kortlægning af denne variation over større områder er meget omfattende, kræver ofte indsamling af supplerende geologiske data og ligger som følge heraf udenfor rammerne af indeværende screening. Den valgte lokalitet udgør derfor muligvis heller ikke det mest optimale sted for udnyttelse af geotermi i Haderslevområdet, hvis der udelukkende tages udgangspunkt i de geologiske forhold. Geotermi WebGIS portalen vil udgøre et godt udgangspunkt til at vurdere geologien og variationen af det geotermiske potentiale over større områder. I WebGIS portalen sammenholdes relevante geologiske data til en vurdering af det geotermiske potentiale på landsplan baseret udelukkende på geologiske data.

Gennemgangen af Haderslev-lokaliteten er opbygget således, at der i afsnit 2 gøres rede for regionale geologiske forhold og undergrundens opbygning. Det vurderes, at den primære dybe geotermiske reservoirmulighed ved lokaliteten udgøres af ca. 25 meter sandsten, der er beliggende mere end 1365 meter under terræn. Sandstenene indgår i Bunter Sandsten Formationen, og den geologiske gennemgang og vurdering af undergrunden fokuserer derfor på denne formation. Geologiske nøgledata, der danner grundlag for en vurdering af det geotermiske potentiale ved prognoselokaliteten og som udgør et input til økonomiske beregninger mm., er samlet i Tabel 3.1 i afsnit 3. Det er også i dette afsnit, at det geotermiske potentiale vurderes, og der gives anbefalinger til eventuelle supplerende undersøgelser, hvilket er særligt aktuelt i områder som Haderslev, hvor geologiske data er mangelfulde. I de efterfølgende afsnit dokumenteres data-

grundlaget, og hvordan de geologiske nøgledata er fremkommet samt delvist hvilke betragtninger og antagelser, der ligger bag dem. For en generel introduktion til anvendelsen af geotermisk energi i Danmark ud fra en geologisk synsvinkel henvises der til WebGIS portalen. Heri gennemgås blandt andet hvilke typer geologiske data (reservoirdata, seismiske data, temperaturdata og salinitetsdata m.fl.), der indgår i vurderingen af et geotermisk potentiale og hvilke usikkerheder, der overordnet knytter sig til beregningen af disse.



Figur 1: Kort visende den omtrentlige beliggenhed af prognoselokaliteten (rød cirkel) sydvest for Haderslev.

2. Geologisk baggrund

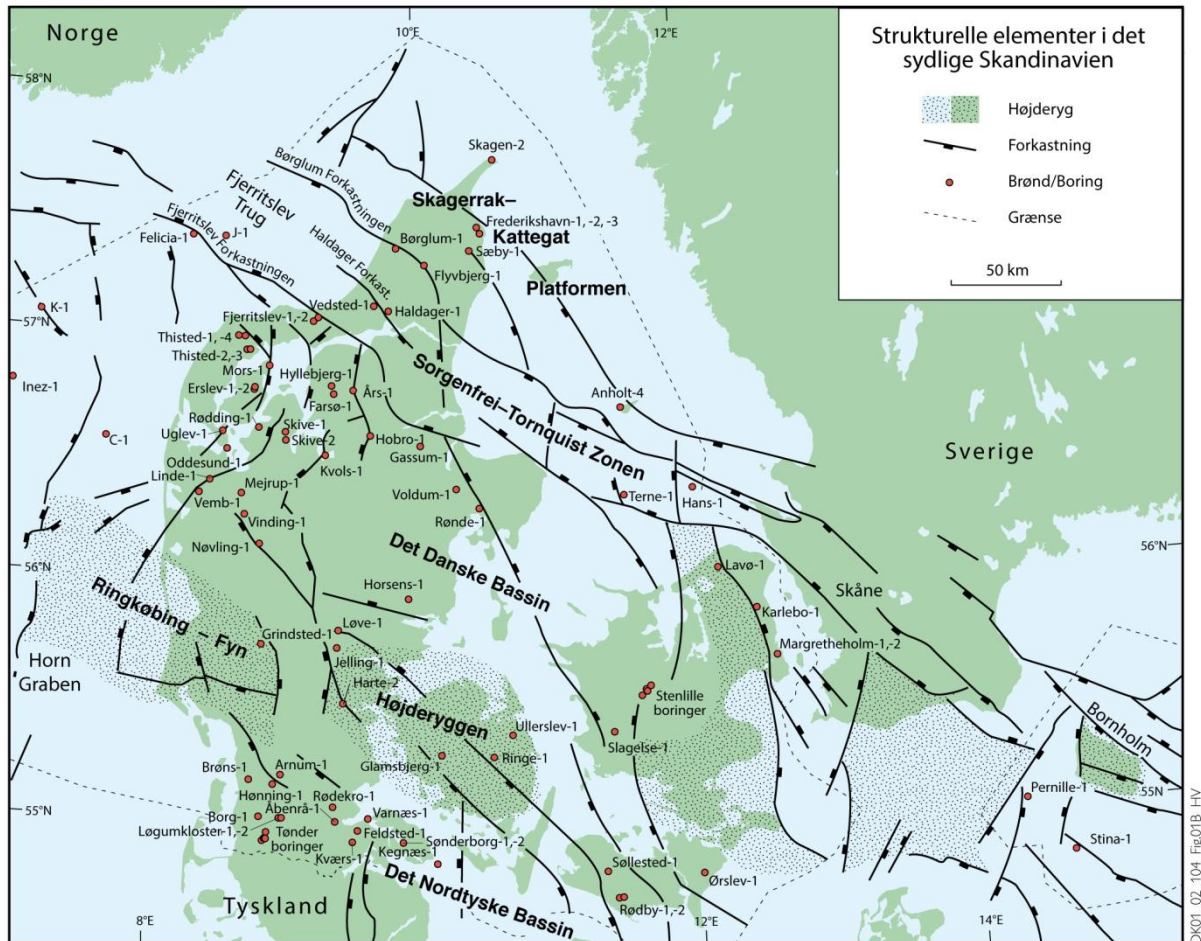
Haderslev-området er beliggende i det Nordtyske Bassin, som blev dannet ved strækning af skorpen i Tidlig Perm tid. Ringkøbing–Fyn Højderyggen adskiller mod nord bassinet fra det Danske Bassin (Figur 2). Ringkøbing–Fyn Højderyggen er en del af et regionalt VNV–ØSØ-gående strøg af højtliggende grundfjeldsområder i undergrunden, der gennemskæres af nord–syd orienterede riftstrukturer og mindre trug.

Efter en indledende aflejring af Rotliegend grovkornede klastiske sedimenter i det Nordtyske og det Danske Bassin fulgte en lang periode med indsynkning, hvor tykke aflejringer af Zechstein-salt blev dannet i bassinerne efterfulgt af aflejring af sand, mudder, karbonat og mindre saltdannelse i Trias og Tidlig Jura. Regional hævnning i Mellem Jura førte til en betydelig erosion af underliggende sedimenter, specielt op mod flankerne af og over det højtliggende grundfjeld i Ringkøbing–Fyn Højderyggen. Denne, og senere erosionshændelser, er repræsenteret ved en markant erosionsflade, der overlejres af en Nedre Kridt lagserie bestående af muddersten og siltsten samt enkelte sandstenslag. Herefter følger en tyk serie af karbonat- og kalkaflejringer, der udgør den øverste del af den Mesozoiske lagserie i bassinerne. De betydelige mængder sedimenter, der blev aflejret gennem Mesozoikum, førte i perioder til, at underliggende aflejringer af Zechstein-salt blev plastisk deformeret og nogle steder søgte opad langs svaghedszoner. Dette resulterede nogle steder i, at de overliggende lag blev løftet op (på saltpuder) eller gennembrudt af den opstigende salt (af salt diapirer). Over saltstrukturene kan lagene være eroderet helt eller delvis bort eller ikke være aflejret, hvorimod forøget indsynkning nedenfor saltstrukturenes flanker (i randsænkerne) kan have ført til, at selvsamme lag er ekstra tykke i disse områder. Saltbevægelsen har endvidere mange steder været ledsaget af forkastningsaktivitet, og da tektonisk betinget forkastningsaktivitet også har fundet sted, er den strukturelle kontinuitet som følge heraf lille i dele af det Nordtyske Bassin.

I Haderslev-området er Øvre Perm – Kvartær lagserien omkring 1,5 km tyk (Vejbæk & Britze 1994). Potentielle geotermiske sandstensreservoirs i den sydlige del af Danmark vurderes primært at være til stede i den Nedre Triassiske Bunter Sandsten Formation og i den Øvre Triassiske – Nedre Jurassiske Gassum Formation (Mathiesen et al. 2013). Dette er baseret på, at disse formationer vides at kunne indeholde geotermiske sandstensreservoirs, og at de i større områder vurderes til at være beliggende indenfor dybdeintervallet 800–3000 meter, der anses for egnet til dyb geotermisk indvinding. Kortlægningen af dybdeintervaller og indhold af sandsten er baseret på tilgængelige seismiske data og data fra dybe borer i undergrunden. Den geografiske dækning og kvaliteten af disse data er dog meget varierende, og det er som følge heraf også meget forskelligt med hvilken grad af sikkerhed, man kan udtale sig om det geotermiske potentiale fra område til område. I Haderslev-området er omfanget af tilgængelige data meget begrænset, og som følge heraf er kendskabet til udbredelsen, tykkelsen og dybden til Bunter Sandsten og Gassum formationerne tilsvarende begrænset. Ud fra det regionale billede af Gassum Formationens udbredelse er det dog ikke sandsynligt, at formationen er til stede i undergrunden i Haderslev-området. Fokus er derfor i det efterfølgende på Bunter Sandsten Formationen i vurderingen af det geotermiske potentiale ved prognoselokaliteten.

Bunter Sandsten Formationen kendes fra adskillige dybe borer i Danmark og Sverige og er vidt udbredt i det Danske Bassin og det Nordtyske Bassin. Det geotermiske anlæg ved Magretheholm på Amager udnytter varmt vand fra sandstenslag i Bunter Sandsten Formationen. Formationen er mindre end 300 meter tyk i det syddanske område, og henover over Ringkøbing–Fyn Højderyggen er formationen tynd eller mangler helt. Højderyggen var sandsynligvis delvis blotlagt som "øer" i Tidlig Trias, hvor mindre trug mellem øerne forbandt det Nordtyske Bassin med det Danske Bassin (Michelsen et al. 1981).

Bunter Sandsten Formationen består af rødbrune og gulbrune, fin- til mellemkornede sandsten foruden silt- og lersten. Lokalt er aflejringerne stærkt kalk-, anhydrit- og glimmerholdige. I det Danske Bassin afløses Bunter Sandsten Formationen mod nord af grovkornede sandsten tilhørende Skagerrak Formationen. Bunter Sandsten Formationen blev dannet i Tidlig Trias i et tørt og varmt ørkenklima. Vidtforgrenede og periodisk vandførende floder transportererede sand ind i den centrale del af aflejringsbassinet, hvor sandet blev aflejret i flodkanaler. Vegetationen var yderst sparsom, og i nedbørspausen dannede vinden sandklitter. I mellem flodkanal- og klitsandet blev lag af ler afsat i søer. Det syddanske område, som Haderslev-området er en del af, fik tilført sedimenter fra nord stammende fra erosion af Ringkøbing–Fyn Højderyggen, og endvidere blev æolisk (vindtransporteret) sand i perioder tilført området fra syd (Olivarius 2015). På denne måde blev der dannet forholdsvist sammenhængende lag af fin- til mellemkornede sandsten, som havde stor geografisk udbredelse uden væsentlige primære hydrauliske barrierer. Senere for-kastningsaktivitet har i nogle områder dog ændret på dette, ligesom senere kompaktion og mineraludfældninger (diagenese) har modificeret reservoiregenskaberne.



Figur 2: De væsentligste strukturelle elementer i det sydlige Skandinavien inklusiv den nordligste del af det Nordtyske Bassin, Ringkøbing–Fyn Højderyggen, det Danske Bassin, Sorgenfrei–Tornquist Zonen og Skagerrak–Kattegat Platformen. Modificeret figur fra Nielsen (2003).

3. Resultater for Haderslev-lokaliteten

De geologiske data for Bunter Sandsten Formationen ved Haderslev-lokaliteten er samlet i Tabel 3.1. Usikkerheden på de angivne estimater bygger på en generel og erfaringsmæssig vurdering af tolknings-usikkerheden ved de forskellige typer af data (borehulslogs, porøsitet-permeabilitets sammenhænge, seismiske dybdekort etc.) samt ekstrapoleringen af disse data til prognoselokaliteten. Nogle af parametrene er indbyrdes afhængige, men de angivne usikkerheder knytter sig generelt til den enkelte parameter, og der er således ikke tale om akkumulerede usikkerheder. Specielt på reservoirdata er der store usikkerheder, og på GEUS pågår derfor et arbejde med at vurdere, om der er belæg for generelt at kunne reducere usikkerhedsbåndet på estimerede reservoirværdier.

Af tabellen fremgår det, at formationen vurderes til at være til stede ca. 1320–1520 meter under havniveau (m.u.h.) og dermed i en dybde, der er egnet til dyb geotermisk indvinding. Dette afspejler sig i temperaturen, der vurderes til at være 50 °C i midten af formationen. Endvidere vurderes flere af de øvrige parameterværdier til at være rimelige med hensyn til det geotermiske potentiale (f.eks. formationstykkelse, porøsitet, permeabilitet). Derimod er det meget kritisk, at reservoirtransmissiviteten kun vurderes til at være på 5 Darcy-meter. Reservoirtransmissiviteten er et udtryk for reservoirsandets geotermiske ydeevne, beregnet ved at gange tykkelsen af Potentielt reservoirsand med reservoirsandstenens gennemsnitspermeabilitet efterfulgt af en erfaringsbaseret opskalering. Da reservoirtransmissiviteten bør være større end 10 Darcy-meter (Mathiesen et al. 2013*), ser det geotermiske potentiale ikke lovende ud ved prognoselokaliteten. Den store usikkerhed, der knytter sig til den estimerede værdi, muliggør dog transmissivitetsværdier helt op på 35 Darcy-meter (Tabel 3.1). Transmissiviteten er beregnet ud fra de logbestemte porøsiteter, men kun zoner med reservoir-kvalitet indgår i beregningen (zonerne er markeret som "Potentielt reservoirsand" i Figur 6 og 7). I beregningen er der således forudsat en vis minimumsporøsitet (>15 %) samt et relativt lavt ler-indhold (<30 %). Det er endvidere problematisk, at der er identificeret forkastninger i nærheden af lokaliteten, som opsplitter Bunter Sandsten Formationen. Hvis der er forkastninger til stede, og disse ikke kortlægges, er der risiko for, at eventuelt kommende geotermiske produktions- og injektionsboringer placeres, så de ikke er i tilstrækkelig hydraulisk kontakt med hinanden. Derudover er der risiko for mættede saltforhold i formationsvandet, hvilket vil skulle håndteres ved en geotermisk produktion og vil fordyre driften.

Med hensyn til dæklag, der erfaringsmæssigt kan være nødvendige at fokusere på i boreprocessen, vurderes Fjerritslev Formationen ikke at være til stede i området. Kridt og Danien lagseriens kalkaflejringer vurderes til at være ca. 580 meter tykke og beliggende ca. 320–900 m.u.h.

**I Mathiesen et al. 2013 angives det, baseret på foreløbige kriterier, at reservoirs gennemsnitlige gas-transmissivitet i udgangspunktet er rimelig, hvis denne er større end 8 Darcy-meter. Værdien svarer efter GEUS' vurdering til en væsketransmissivitet på ca. 10 Darcy-meter.*

Tabel 3.1: Nøgledata, der danner grundlag for en vurdering af det geotermiske potentiale ved Haderslev-lokaliteten, og som vil udgøre et input til økonomiske beregninger mm.

Haderslev-lokaliteten			
UTMz32 X: 529.125 m; Y: 6.117.198 m Terrænkote: 45 meter over havniveau (m.o.h.)			
Bunter Sandsten Formationen	Estimeret værdi	Vurderet usikkerhed ¹	Usikkerhedsinterval ²
			[MinCase - MaxCase]
Makro reservoirparametre			
Dybde til top af formation [m.u.h.]	1320	8 ³	1214–1425 ³
Tykkelse af formation [m]	200	50 ³	100–300 ³
Andel af sandsten i formationen			
Tykkelse af Gross sand [m]	75	50 ³	38–113 ³
Tykkelse af Potentielt reservoirsand ⁴ [m]	25	50 ³	13–38 ³
Potentiel reservoirsand/formation ⁵	0,13	50 ³	0,06–0,19 ³
Potentiel reservoirsand/Gross sand ⁶	0,33	50 ³	0,17–0,50 ³
Vandlede egenskaber (reservoirsand)			
Porøsitet [%]	19	15 ³	16–22 ³
Gas-permeabilitet [mD]	175	5 ⁷	35–875 ⁷
Reservoir-permeabilitet ⁸ [mD]	219	5 ⁷	44–1094 ⁷
Reservoir-transmissivitet (Kh) ⁹ [Dm]	5	7 ⁷	1–35 ⁷
Temperatur			
Temperatur ¹⁰ [°C]	50	10 ³	45–55 ³
Tekstur og cementering (sandsten)		Vurdering	
Kornstørrelse/sortering/afrundingsgrad	Hovedsageligt meget fin til fin kornstørrelse; ringe til moderat sorteret; subafrundede til velafrundede korn		
Diagenese/cementering	Kalkcementeret, cementeringsgrad kendes ikke		
Andre betydende parametre		Vurdering	
Salinitet	Risiko for mættede forhold i formationsvandet		
Sedimentologisk kontinuitet	Stor		
Strukturel kontinuitet	Lokalt strukturelt komplekst, forkastninger identificeret tæt ved prognoselokaliteten		

¹ Vurderet usikkerhed benyttes til udregning af Usikkerhedsinterval og er erfarings- og vidensbaseret (se tekst for nærmere uddybning).

² Usikkerhedsinterval angiver variationsbredden for Estimeret værdi og kontrolleres af omfang og kvalitet af det tilgængelige datagrundlag.

³ Vurderet usikkerhed (målt i relative %). Usikkerhedsinterval givet ved Estimeret værdi +/- Vurderet usikkerhed (målt i relative %).

⁴ Tykkelse af Potentielt reservoirsand er estimeret ud fra afskæringskriterier på Vshale (< 30 %) og log-porøsitet (> 15 %).

⁵ Tykkelse af Potentielt reservoirsand divideret med Tykkelse af formation.

⁶ Tykkelse af Potentielt reservoirsand divideret med Tykkelse af Gross sand.

⁷ Usikkerhedsinterval givet ved Estimeret værdi divideret/ganget med Vurderet usikkerhed.

⁸ Reservoir-permeabilitet er den permeabilitet, som forventes målt i forbindelse med en pumpetest eller en brøndtest. Reservoir-permeabiliteten er estimeret ved at multiplicere Gas-permeabilitet med en opskalingsfaktor på 1,25.

⁹ Reservoir-transmissiviteten er estimeret ud fra tolkning af logdata samt analyse af kernedata. Reservoir-transmissiviteten er opskaleret til reservoirforhold.

¹⁰ Temperatur er estimeret for midten af formationen ud fra en generel dybde-temperatur relation for det sydlige Danmark.

3.1 anbefalinger

Datatætheden er ringe i Haderslev-området, og kendskabet til undergrunden er som følge heraf også meget begrænset. Der knytter sig derfor en forholdsvis stor usikkerhed til at ekstrapolere boredata fra så langt væk som Varnæs-1 og sekundært Åbenrå-1 og Rødekro-1 brøndene til prognoselokaliteten. Den nærmeste boring med logs, der kan anvendes til at vurdere reservoir-egenskaberne i Bunter Sandsten Formationen, er Varnæs-1. Loganalyserne fra denne boring viser, at antal meter Potentielt reservoirsand kun er ca. 9 meter og at transmissiviteten er lav (ca. 2 Darcy-meter). Det kræver derfor indsamling af nye og gode data ved eller i nærheden af prognoselokaliteten for at kunne afgøre, om parameter-værdierne er væsentlig bedre i Haderslev-området.

Selv om data vurderes til at være lidt mere optimistiske end estimeret for Varnæs-1 brønden, vil usikkerheden på den mest kritiske parameter, transmissiviteten, først kunne elimineres ved udførelsen af en boring ned gennem formationen ved eller i nærheden af prognoselokaliteten. Herved vil reservoirkvaliteten, inklusiv transmissiviteten, kunne vurderes ud fra indsamlede logs af god kvalitet, gode borespåne-beskrivelser, hydrauliske test af selve reservoiret samt eventuelt udtagne kerner af sandstensintervaller. En sådan boring vil dog være en risikabel investering set i lyset af, at det geotermiske potentiale i udgangspunktet ikke ser lovende ud.

Inden en boring udføres, vil det også være nødvendigt at lave en seismisk dataindsamling omkring prognoselokaliteten. Den nuværende seismiske kortlægning viser, at der forekommer forkastninger tæt ved prognoselokaliteten. Det bør derfor overvejes, om lokaliteten kan flyttes, hvis nye seismiske data viser, at der er nærtliggende områder, hvor formationen ikke er opbrudt af forkastninger. Den seismiske linjeføring bør lægges således, at den knytter prognoselokaliteten til Rødekro-1 brønden samt at den omkring prognoselokaliteten muliggør en rumlig kortlægning af forkastninger, der gennemskærer Bunter Sandsten Formationen. Det vurderes, at der skal indsamles i størrelsesordenen af 60 km ny seismik.

4. Datagrundlag

I Figur 3 er den tilgængelige database i Haderslev-området og i regionen vist i form af placeringen af brønde samt placering og kvalitet af seismiske linjer. Endvidere er forløbet af de overordnede forkastninger vist i figuren. Bemærk placeringen af prognoselokaliteten og afstanden til de nærmeste borer samt Ringkøbing–Fyn Højderyggen (RFH) umiddelbart nord for prognoselokaliteten. Det fremgår af figuren, at datatætheden omkring Haderslev er meget lille.

De nærmeste ”omkransende” dybe brønde, Rødekro-1, Åbenrå-1 og Varnæs-1, er placeret ca. 15-20 km fra prognoselokaliteten efterfulgt af Arnum-1, Hønning-1, Harte-2 og Glamsberg-1 i en afstand af ca. 30-45 km (Figur 2). Gassum og Bunter Sandsten formationerne er ikke påvist i alle borerne, og det er endvidere kun Varnæs-1, der indeholder logs, som kan anvendes til vurdering af reservoirkvalitet. I Tabel 4.1 fremgår den omtrentlige afstand til prognoselokaliteten for de nævnte brønde samt dybdeinterval og tykkelse af henholdsvis Gassum og Bunter Sandsten formationerne, hvis disse er anført. Endvidere er dybdeinterval og tykkelse af den lerstensdominerede Fjerritslev Formation samt Kridt lagseriens kalkaflejringer vist, som udgør ”dæklag” for både Gassum og Bunter Sandsten formationerne. Dybde og tykkelse af disse dæklag er også vurderet for prognoselokaliteten (afsnit 5) og er interessante, da de kan indgå i vurderingen af omkostninger til borefasen ved en eventuel etablering af et geotermisk anlæg.

Det fremgår af Tabel 4.1, at hverken Gassum Formationen eller Fjerritslev Formationen er til stede i de nærmeste borer, hvorimod der er boret ned til stratigrafisk dybereliggende lag. Længere mod syd, i en større afstand fra den nordlige rand af det Nordtyske Bassin, er Gassum Formationen til stede i flere borer. Eksempelvis er formationen til stede i Kværs-1 boringen med en tykkelse på 18 meter, i Sønderborg-1 og -2 borerne med en gennemsnitstykkelse på 95 meter og i Kegnæs-1 boringen med en tykkelse på 141 meter. Mod sydvest synes Gassum Formationen kun stedvis at være til stede, bl.a. dokumenteret ved at den er til stede i Tønder-2 boringen med en tykkelse på 33 meter, hvorimod den ikke er til stede i de øvrige dybe Tønder-borer. Det overordnede billede er derfor, at Gassum Formationen aftager i tykkelse mod nord i det Nordtyske Bassin og helt er væk op mod flanken af Ringkøbing–Fyn Højderyggen samt over højderyggen; et billede som også bekræftes af den seismiske kortlægning. Gassum Formationens fravær mod nord, og formodentlig også i Haderslev-området, må tilskrives den regionale hævnings og erosion i Mellem Jura, som var særligt udpræget hen over Ringkøbing–Fyn Højderyggen og langs flankerne af denne. Endvidere kan Gassum Formationen stedvis mangle i det sydligste Danmark på grund af lokal hævnings og erosion relateret til saltbevægelse i undergrunden (eksempelvis i Tønder området). Bunter Sandsten Formationen er til stede i alle de nærmeste borer, som er boret dybt nok til at kunne afdække, om formationen findes i undergrunden (Tabel 4.1). Eneste undtagelse er Glamsberg-1 boringen, som er placeret på Ringkøbing–Fyn Højderyggen.

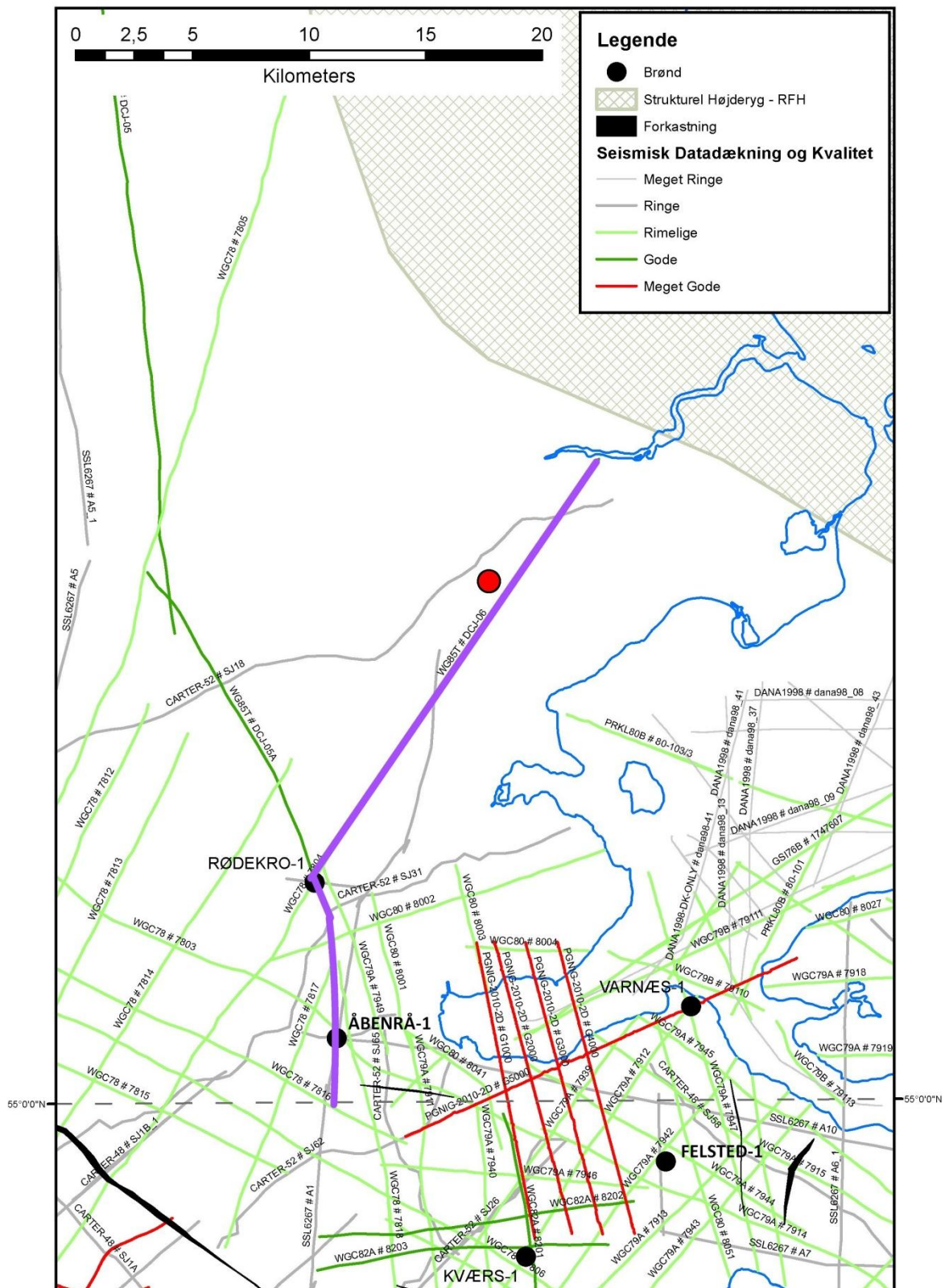
Kvaliteten af de seismiske linjer, der er indsamlet i regionen, er markeret med farver i Figur 3 og 4. Farverne angiver, hvor anvendelige de seismiske data er til at kortlægge formationer i det geo-

termiske dybdeinterval. Det er en overordnet kvalitetsangivelse, der i høj grad afspejler i hvilket år, de seismiske data blev indsamlet. I Haderslev-området er der kun få seismiske linjer, og den seismiske dækning må derfor betegnes som værende ringe. En enkelt linje af god kvalitet (DCJ-06) passerer dog forholdsvis tæt forbi prognoselokaliteten. Seismiske dybde- og tykkelseskort over Gassum og Bunter Sandsten formationerne bekræfter det ovenover skitserede billede af formationernes udbredelse. De seismiske kort er dog behæftet med stor usikkerhed i Haderslev-området, som følge af de sparsomme seismiske data i området.

På baggrund af det ovenstående kan det konkluderes, at datadækningen i Haderslev-området er ringe både med hensyn til brøndata og seismiske data. Endvidere er Bunter Sandsten Formationen mest interessant i en evaluering af det geotermiske potentiale, idet Gassum Formationen sandsynligvis ikke er til stede i området. Som følge heraf fokuseres der i de følgende afsnit på udbredelsen, kontinuiteten og reservoiregenskaberne af Bunter Sandsten Formationen.

Tabel 4.1: De enkelte brøndes omtrentlige afstand til prognoselokaliteten er angivet i parentes under brøndnavnet. Brøndenes omtrentlige placeringer fremgår endvidere på oversigtskortet i Figur 2. Formationer, der ikke er gennemboret (ikke til stede), men hvor stratigrafisk dybereliggende lag er anført, er markeret med "-" i tabellen. Skraverede felter markerer, at boringen ikke er dyb nok til at afgøre, om formationen er til stede. Tykkelse er i meter, og dybdeinterval er i meter under havniveau (data fra Nielsen & Japsen 1991).

		Rødekro-1 (15 km)	Åbenrå-1 (21 km)	Varnæs-1 (20 km)	Arnum-1 (32 km)	Hønning-1 (35 km)	Harte-2 (35 km)	Glamsberg-1 (44 km)
Kalk Gruppen	Dybdeinterval (m.u.h.)	342–850	335–859	295–822	358–867	389–883	209–860	97–766
	Tykkelse (m)	508	524	527	509	494	651	670
Fjerritslev Fm	Dybdeinterval (m.u.h.)	-	-	-	-	-	-	-
	Tykkelse (m)	-	-	-	-	-	-	-
Gassum Fm	Dybdeinterval (m.u.h.)	-	-	-	-	-	-	-
	Tykkelse (m)	-	-	-	-	-	-	-
Bunter Sandsten Fm	Dybdeinterval (m.u.h.)	1331–1410	1477–1613	1367–1454	1377–1502	1560–1743		-
	Tykkelse (m)	79	136	87	125	183		-



Figur 3: Placering af prognoselokalitet (rød cirkel) samt placering og kvalitet af seismiske linjer i regionen og forløbet af overordnede forkastninger. Varnæs-1 er den nærmeste brønd til prognoselokaliteten, hvori der er optaget en log-suite, der kan anvendes til vurdering af reservoirkvalitet. De dele af de seismiske linjer DCJ-05A, 7804 og DCJ-06, som er fremhævet med fed lilla streg, er anvendt til at fremstille et sammensat seismisk profil med tolkede seismiske horisonter i Figur 5.

5. Gennemgang af data

I dette afsnit dokumenteres datagrundlaget og hvordan de geologiske nøgledata i Tabel 3.1 er fremkommet samt til dels hvilke betragtninger og antagelser, der ligger bag dem.

5.1 Udbredelse og kontinuitet af formationer og interne reservoirer

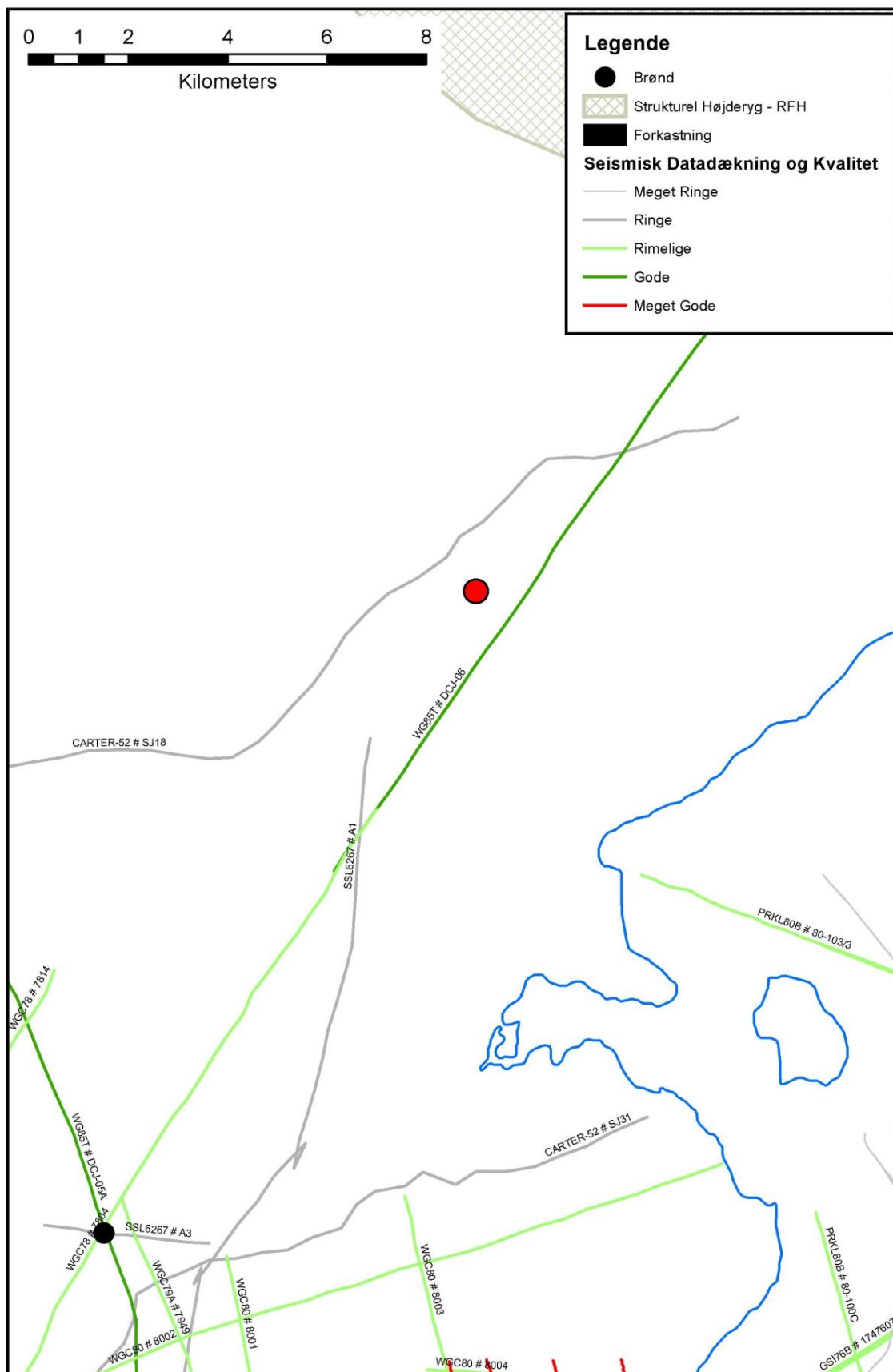
5.1.1 Seismisk tolkning og kortlægning

Dybder og tykkelser af udvalgte lagserier i undergrunden ved prognoselokaliteten ses i Tabel 5.1 og er baseret på delresultater af en igangværende og meget omfattende seismisk kortlægning, der vil munde ud i landsdækkende dybdekort til vigtige seismiske horisonter og formationsgrænser. Ud fra den seismiske kortlægning vurderes Bunter Sandsten Formationens top at være til stede ca. 1320 m.u.h. ved prognoselokaliteten med en vurderet usikkerhed på $\pm 8\%$. Tykkelsen af formationen vurderes til at være 200 meter, dog med en stor usikkerhed ($\pm 50\%$) som følge af, at basis af formationen er vanskelig at identificere seismisk.

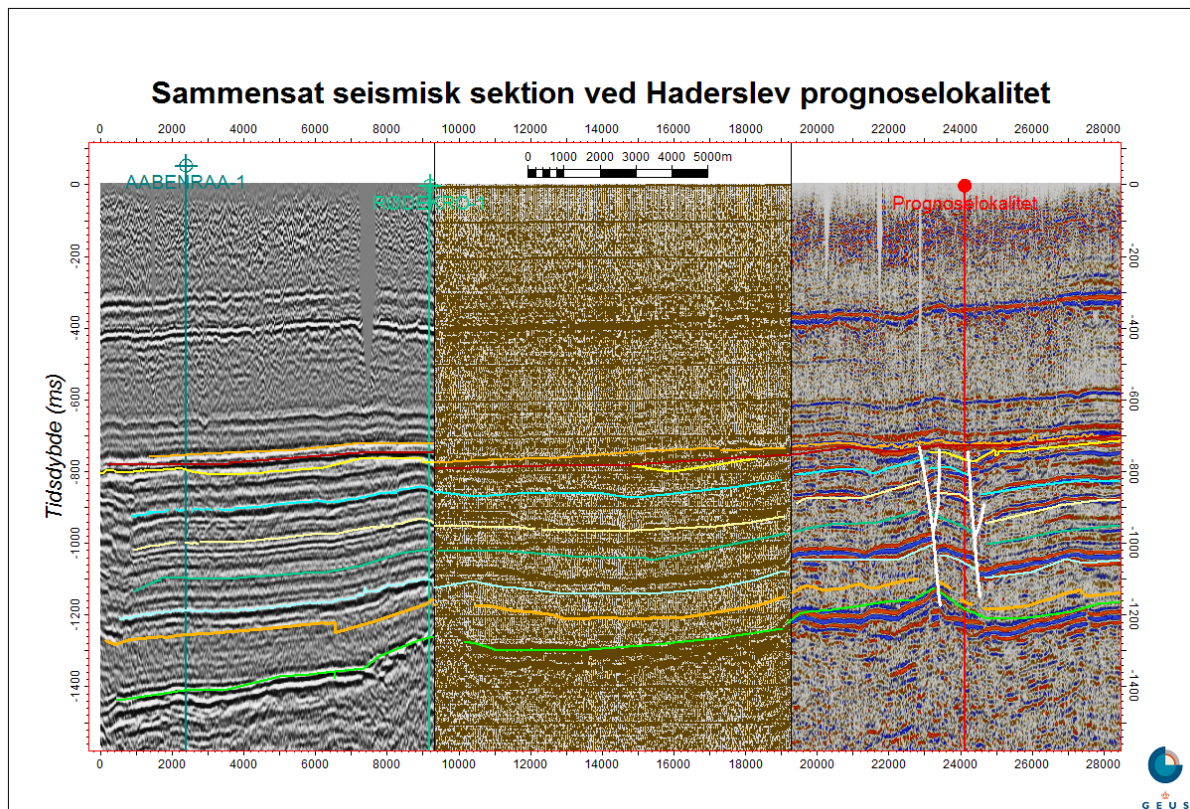
Dele af de seismiske linjer DCJ-05A, 7804 og DCJ-06 (Figur 3 og 4) er anvendt til at fremstille et sammensat seismisk profil, der er vist med tolkede seismiske horisonter i Figur 5. Bunter Sandsten Formationen fremstår forholdsvis uforstyrret langs med profilet bortset fra tæt ved prognoselokaliteten, hvor formationen er opbrudt af forkastninger. Da den seismiske datadækning omkring prognoselokaliteten er meget begrænset, er det ikke muligt at lave en rummelig kortlægning af forkastningerne og dermed udtale sig mere præcist om deres beliggenhed i forhold til prognoselokaliteten.

Tabel 5.1: *Dybdeintervaller og tykkelser af udvalgte lagserier ved prognoselokaliteten, som er estimeret på baggrund af den igangværende landsdækkende seismiske kortlægning.*

Prognoselokalitet	Dybdeinterval (m.u.h.)	Tykkelse (m)
Danien kalksten & Kalk Gruppen	320–900	580
Fjerritslev Fm	Ikke til stede	-
Gassum Fm	Ikke til stede	-
Bunter Sandsten Fm	1320–1520	200



Figur 4: Indsamlede seismiske linjer omkring prognoselokaliteten. Nogle af linjerne (markeret på Figur 3) er anvendt til at fremstille et sammensat seismisk profil med tolkede seismiske horisonter i Figur 5.



Figur 5: Sammensat seismisk profil gennem Åbenrå-1 og Røde Kro-1 og videre nordpå baseret på de seismiske linjer DCJ-05A, 7804, DCJ-06 (Figur 3 og 4). Prognoselokaliteten, som den seismiske linje passerer øst om i en afstand af ca. 850 meter, er projiceret vinkelret ind på profilet (markeret med rød lodret streg). Bunter Sandsten Formationen fremstår forholdsvis uforstyrret langs med profilet bortset fra tæt ved prognoselokaliteten, hvor formationen er opbrudt af forkastninger (forkastninger er markeret ved stejle hvide streger). Dybde er angivet som seismisk to-vejs-tid i millisekunder. Oppefra og ned er følgende tolkede horisonter vist på figuren: Basis af Kalkgruppen (orange), Basis Nedre Kridt/Top Fjerritslev Fm (mørkerød), Top Oddesund Fm (gul), Top Tønder Fm (turkisblå), Top Falster Fm (lysegul), Top Ørslev Fm (grøn), Top Bunter Sandsten Fm (lyseblå), Basis Bunter Sandsten Fm/Top Bunter Shale Fm (orange) og Top Zechstein (lysegrøn).

5.1.2 Boringsdata

Tabel 5.2 giver en oversigt over tykkelsen af Bunter Sandsten Formation i en række udvalgte brønde i hovedsageligt den sydjyske region. Af tabellen fremgår det også hvor mange meter sandsten (Gross sand), og heraf meter sandsten med gode reservoir egenskaber (Potentielt reservoirsand), formationen er estimeret til at indeholde i brøndene. I afsnit 5.2, og mere udførligt i Geotermi WebGIS portalen, gøres der rede for, hvordan disse størrelser estimeres på baggrund af logdata. De nærmeste brøndes placering ses i Figur 3, mens den omtrentlige placering af de mere fjerntliggende brønde ses i Figur 2. Boringer, der har anboret stratigrafisk dybereliggende

lag uden at gennembore Bunter Sandsten Formationen, inkluderer Glamsberg-1 på Ringkøbing-Fyn Højderyggen, samt Sønderborg-1 syd for højderyggen. I disse brønde forekommer yngre Trias aflejringer (Ørslev og Falster formationerne) liggende på grundfjeld (Glamsberg-1) eller liggende på Perm aflejringer (Sønderborg-1). Forekomsten af yngre Trias aflejringer viser, at fraværet af Bunter Sandsten Formationen ikke skyldes erosion relateret til den regionale hævnning i Mellem Jura, men muligvis erosionshændelser umiddelbart efter aflejringen af Bunter Sandsten Formationen, eller at områderne i Tidlig Trias udgjorde højtliggende områder, hvor der ikke fandt aflejring sted. I Sønderborg-området kompliceres en nærmere udredning af grunden til fraværet af Bunter Sandsten Formationen af en kompleks geologi med nærtliggende saltpudder, som åbner for yderligere tolkninger.

I brøndene syd for Ringkøbing-Fyn Højderyggen varierer tykkelsen af formationen fra ca. 35 meter (Felsted-1) til over 200 meter (Tønder-3). Variationerne i tykkelse kan muligvis tilskrives tektoniske pulser i Nedre Trias, som førte til mindre omarrangeringer af bassin-geometrien og dannelse af lokale nedforkastede blokke, mens højere liggende områder stedvis blev udsat for intens erosion (Bachmann et al. 2010). Mod nord er formationen stedvis til stede henover Ringkøbing-Fyn Højderyggen, idet den er påvist i Grindsted-1 med en tykkelse på 57 meter og i Ringe-1 med en tykkelse på 12 meter, mens den som nævnt ikke er til stede i Glamsberg-1. Fraværet eller den mindre tykkelse af Bunter Sandsten Formationen henover Ringkøbing-Fyn Højderyggen afspejler sandsynligvis, at dele af højderyggen var blotlagt som øer gennem aflejringsperioden, og at de lavereliggende dele af ryggen kun efterlod begrænset plads til aflejring af sediment.

Desværre eksisterer der ingen boringer omkring eller umiddelbart nord for Haderslev-området, som er dybe nok til at kunne bekræfte eksistensen af Bunter Sandsten Formationen i området. Nærmeste nordlige brønde, der når ned i Nedre Trias aflejringer, er Jelling-1 og Løve-1 brønde, der er placeret omtrent henover den nordlige flanke af Ringkøbing-Fyn Højderyggen i en afstand fra prognoselokaliteten på henholdsvis ca. 60 og 67 km. Brøndene viser et forholdsvis stort indhold af sandsten i Bunter Sandsten Formationen (Tabel 5.2). Det store indhold af sandsten afspejler sandsynligvis den mere landværts position (tættere på sedimentkilden) af disse brønde i forhold til brøndene syd for prognoselokaliteten.

Da prognoselokaliteten er placeret syd for Ringkøbing-Fyn Højderyggen, og endvidere repræsenterer en mere distal position end de to ovennævnte brønde, synes det mest oplagt at anvende data fra de nærmeste brønde syd for prognoselokaliteten (Rødekro-1, Åbenrå-1 og Varnæs-1) til at vurdere indholdet af sandsten og reservoirkvaliteten af sandstenene i Bunter Sandsten Formationen ved prognoselokaliteten. Tolkning af logdata fra disse brønde viser et sandstensindhold på omkring 30 meter i Bunter Sandsten Formationen (Tabel 5.2), og fordelingen af sandsten og ler-/siltsten i formationen er endvidere rimelig ensartet i brøndene (Figur 6). Den mest markante forskel består i, at Bunter Sandsten Formationen er noget tykkere i Åbenrå-1 end i de andre brønde (Figur 6, Tabel 5.2).

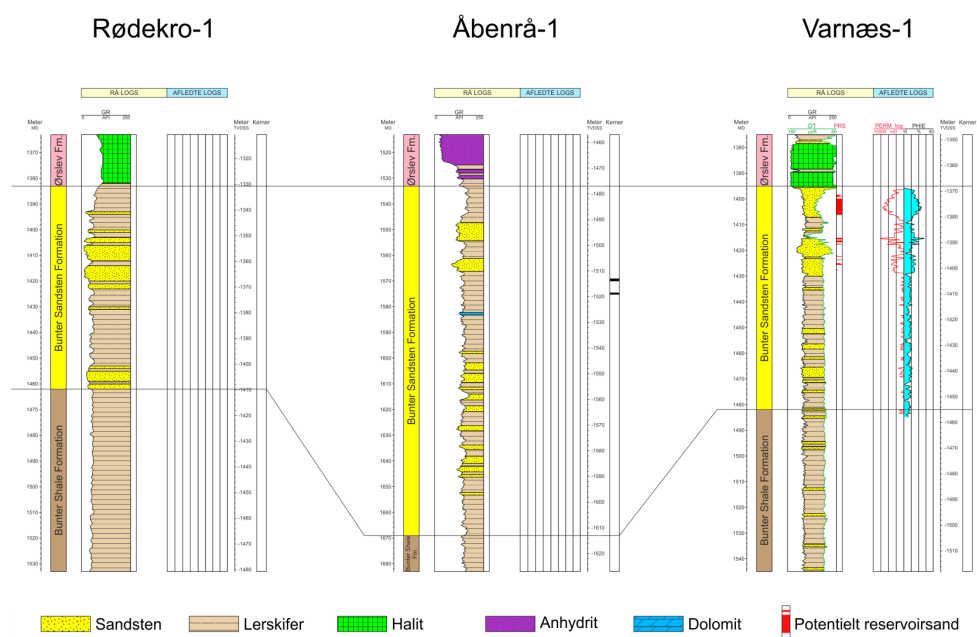
Af de ovennævnte brønde er det desværre kun Varnæs-1 boringen, hvorfra der foreligger logdata, som kan anvendes til at vurdere reservoirkvaliteten af sandstenene i Bunter Sandsten Formationen. Vurderingen af reservoirkvaliteten af Bunter Sandsten Formationen ved prognoselo-

kaliteten tager derfor udgangspunkt i data fra denne brønd. Det antages endvidere, at andelen af sandsten i formationen ved prognoselokaliteten er lige så stor eller større end indholdet af sandsten i Rødekro-1, Åbenrå-1 og Varnæs-1 brøndene. Denne antagelse bygger på, at prognoselokaliteten repræsenterer en mere landværts position end brønd-lokaliteterne. Det skal dog også bemærkes, at der knytter sig en vis usikkerhed til vurderingen af reservoirregenskaberne i Varnæs-1. Dette skyldes, at beregningen af porøsiteten tager udgangspunkt i en sonic-log, da der i Varnæs-1 brønden ikke er optaget mere egnede log-typer (dvs. neutron-density logs) til beregning af denne parameter.

I det Nordtyske Bassin inddeles Bunter Sandsten Formationen i fire enheder, der hver består af en sandstensserie efterfulgt af en forholdsvis tyk lerstensserie. To af disse enheder (Volpriehausen og Solling members) kan også erkendes i de fleste dybe danske landboringer, der når ned i Bunter Sandsten Formationen, inklusiv Rødekro-1, Åbenrå-1 og Varnæs-1 (Michelsen & Clausen 2002). Disse enheder har altså en stor geografisk udbredelse og deres sedimentologiske kontinuitet kan som følge heraf også betegnes som værende stor.

Tabel 5.2: Tykkelser af Bunter Sandsten Formationen, estimerede antal meter sandsten (Gross sand), og heraf meter sandsten med gode reservoirregenskaber (Potentielt reservoirsand), i udvalgte brønde, hvis omtrentlige placeringer ses på oversigtskortet i Figur 2. Skraverede felter angiver at andelen af Potentielt reservoirsand ikke kan beregnes på baggrund af de givne logdata.

	Tykkelser/antal meter		
	Formation	Gross sand	Potentielt reservoirsand
Rødekro-1	79	31	
Åbenrå-1	136	29	
Varnæs-1	87	31	9
Felsted-1	36	22	10
Kværs-1	43	11	4
Kegnæs-1	232	52	24
Tønder-3	212	148	91
Løgumkloster-1	167	44	36
Hønning-1	183	59	
Arnum-1	124	28	
Brøns-1	141	38	
Grindsted-1	57	25	
Jelling-1	115	104	77
Løve-1	237	214	190
Ringe-1	12	11	



Figur 6: Sammenligning af Bunter Sandsten Formationen i Rødekro-1, Åbenrå-1 og Varnæs-1, som er de nærmeste brønde til prognoselokaliteten (placering af brønde ses i Figur 3). Formationen er i brøndene vist med dens vertikale tykkelse, og der er således korrigeret for boringernes eventuelle afbøjning. Det er ikke muligt at tolke Potentielt reservoarsand for Rødekro-1 og Åbenrå-1. MD: Målt dybde fra referencepunkt på boreplatform (venstre dybdeskala), TVDSS: Vertikale dybde under havniveau (højre dybdeskala).

5.2 Reservoirkvalitet

Som der er gjort rede for i de foregående afsnit, tager vurderingen af mængden af sandsten i Bunter Sandsten Formationen ved prognoselokaliteten udgangspunkt i data fra de nærmeste brønde syd for lokaliteten, dvs. Varnæs-1, Rødekro-1 og Åbenrå-1. Dybdeintervallet for Bunter Sandsten Formationen i disse brønde ses i Tabel 5.3, hvor det også fremgår, at der kun er udtaget kerner af formationen i Åbenrå-1 boringen. Disse kerner er meget korte og er udtaget i den lerstens-dominerede del af formationen. Selve vurderingen af formationens lithologi og reservoirkvalitet ved prognoselokaliteten bygger på en tolkning af borehulslogs kombineret med eksisterende beskrivelser af borespåner fra Varnæs-1 boringen (Dansk Boreselskab 1981). Varnæs-1 er den nærmeste brønd til prognoselokaliteten, hvori der er optaget en log-suite, der gør det muligt at tolke porøsitet samt mængden af Potentielt reservoirsand. Beregningerne af porøsiteten baserer sig dog kun på en sonic-log, da der ikke er optaget neutron-density logs, hvilket vanskeliggør en præcis beregning af porøsiteten. De optagne og tolkede logs i Varnæs-1 boringen er nærmere beskrevet i Tabel 5.4.

I estimeringen af reservoirværdier for Bunter Sandsten Formationen ved prognoselokaliteten er der taget udgangspunkt i, at mængden af sandsten (Gross sand) og Potentielt reservoirsand er lidt større end i Varnæs-1, Rødekro-1 og Åbenrå-1 brøndene. Som omtalt tidligere bygger denne vurdering på, at Haderslev-lokaliteten repræsenterer en mere landværts position end brønd-lokaliteterne (afsnit 5.1.2).

De tolkede reservoirværdier for Varnæs-1 er samlet i Tabel 5.5. Usikkerheden på de angivne estimater bygger på en generel og erfaringsmæssig vurdering af tolknings-usikkerheden ved de forskellige typer af data (borehulslogs, porøsitet-permeabilitets sammenhænge etc.). Ved sammenligning af Tabel 3.1 og 5.5 fremgår det, at usikkerheden på reservoirværdierne ved prognoselokaliteten generelt er større end de angivne usikkerheder på reservoirværdierne for Varnæs-1. Dette er en naturlig følge af, at en ekstrapolering af data-værdier altid vil medføre en ekstra usikkerhed.

Tabel 5.3: *Overblik over dybdeintervaller i målt dybde fra referencepunkt på boreplatformen (MD) af Bunter Sandsten Formation i de nærmeste dybe brønde med tilhørende kommentarer om tilgængeligt kernemateriale fra formationen.*

Brønd	Dybdeinterval [m MD]	Kerner	Sidevægskerner
Varnæs-1	1395–1482	Ingen	Ingen
Rødekro-1	1383–1462	Ingen	Ingen
Åbenrå-1	1533–1669	2 korte kerner	Ingen

Tabel 5.4: Liste over rå-logs anvendt i danske onshore borer og tolkede logkurver.

Beskrivelse	Log-navn	Enhed	Log-funktion
Gamma logs	GR	API	Måler naturlig radioaktivitet
	GR_DEN	API	Måler naturlig radioaktivitet sammen med densitetslog
	GR_SON	API	Måler naturlig radioaktivitet sammen med sonic log
Spontaneous potential log	SP	mV	Måler spontaneous potential ('selv-potentialet')
	GRpseude	mV	Re-skaleret SP log
Sonic logs	DT	microsek/ft	Akustisk log; måler intervalhastighed
	DTCO	microsek/ft	Akustisk log; måler intervalhastighed
Caliper logs	CALI/CAL	Inch/tommer	Måler borehullets diameter
	CAL_NUC	Inch/tommer	Måler borehullets diameter, med neutron log
Resistivetslogs/ Modstandslogs	ILD	Ohm-m	Induktion log; dybt-læsende modstandslog
	ILM	Ohm-m	Induktion log; medium-læsende modstandslog
	LLS	Ohm-m	Laterolog; medium-læsende modstandslog
	LLD	Ohm-m	Laterolog; dybt-læsende modstandslog
	16ft	Ohm-m	Normal modstandslog af ældre dato
	38in	Ohm-m	Normal modstandslog af ældre dato
	10in	Ohm-m	Normal modstandslog af ældre dato
	18F8	Ohm-m	Lateral modstandslog af ældre dato
	64in	Ohm-m	Normal modstandslog af ældre dato
Neutron log	NPHI	fraction	Måler den tilsyneladende porøsitet (neutron-loggen kan være forkortet "NEU")
Densitets logs	RHOB	g/cm ³	Måler bulk-densiteten af bjergarten
	RHOZ	g/cm ³	Måler bulk-densiteten af bjergarten
Log-beregnet permeabilitet	PERM_log	mD	Beregnet log-kurve baseret på PHIE
Log-beregnet <i>effektiv</i> porøsitet	PHIE	fraction	Beregnet/tolket log kurve
Kernepermeabilitet	Kh_a	mD	Målt horisontal gas permeabilitet (på plugs)
	CPERM_GEUS	mD	Målt gas permeabilitet (på plugs; GEUS data)
Kerneporøsitet	CPOR	%	Målt porøsitet (på plugs)
	CPOR_GEUS	%	Målt porøsitet (på plugs; GEUS data)
Normaliseret gamma log	GRnorm	API	Beregnet/tolket log kurve
Log-beregnet lermængde	Vshale	fraktion	Beregnet/tolket log kurve
Indikator for potentielt reservoirsand (PRS)	PRS	m	Log-udledt kurve ("flag") der indikerer, hvor der er potentielt reservoirsand (PRS)

Tabel 5.5: *Estimerede reservoirværdier for Bunter Sandsten Formationen i Varnæs-1 brønden.*

Varnæs-1			
Bunter Sandsten Formationen	Estimeret værdi	Vurderet usikkerhed ¹	Usikkerhedsinterval²
			[MinCase - MaxCase]
Makro reservoirparametre			
Dybde til top af formation [m.u.h.]	1367	1 ³	1353–1381 ³
Tykkelse af formation [m]	87	1 ³	86–88 ³
Andel af sandsten i formationen			
Tykkelse af Gross sand [m]	31	5 ³	29–32 ³
Tykkelse af Potentielt reservoirsand ⁴ [m]	8,8	5 ³	8–9 ³
Potentielt reservoirsand/formation ⁵	0,10	5 ³	0,10–0,11 ³
Potentielt reservoirsand/Gross sand ⁶	0,29	5 ³	0,27–0,30 ³
Vandlevende egenskaber (reservoirsand)			
Porøsitet [%]	19	6 ³	18–20 ³
Gas-permeabilitet [mD]	175	5 ⁷	35–875 ⁷
Reservoir-permeabilitet ⁸ [mD]	219	5 ⁷	44–1094 ⁷
Reservoir-transmissivitet (Kh) ⁹ [Dm]	2	5 ⁷	0–10 ⁷
Tekstur og cementering (sandsten)		Vurdering	
Kornstørrelse/sortering/afrundingsgrad	Hovedsageligt meget fin til fin kornstørrelse; ringe til moderat sorteret; subafrundede til velafrundede korn		
Diagenese/cementering	Kalkcementeret, cementeringsgrad kendes ikke		

¹ *Vurderet usikkerhed* benyttes til udregning af *Usikkerhedsinterval* og er erfarings- og vidensbaseret (se tekst for nærmere uddybning).

² *Usikkerhedsinterval* angiver variationsbredden for *Estimeret værdi* og kontrolleres af omfang og kvalitet af det tilgængelige datagrundlag.

³ *Vurderet usikkerhed* (målt i relative %). *Usikkerhedsinterval* givet ved *Estimeret værdi* +/- *Vurderet usikkerhed* (målt i relative %).

⁴ *Tykkelse af Potentielt reservoirsand* er estimeret ud fra afskæringskriterier på Vshale (< 30 %) og logporøsitet (> 15 %).

⁵ *Tykkelse af Potentielt reservoirsand* divideret med *Tykkelse af formation*.

⁶ *Tykkelse af Potentielt reservoirsand* divideret med *Tykkelse af Gross sand*.

⁷ *Usikkerhedsinterval* givet ved *Estimeret værdi* divideret/ganget med *Vurderet usikkerhed*.

⁸ *Reservoir-permeabilitet* er den permeabilitet, som forventes målt i forbindelse med en pumpetest eller en brøndtest. *Reservoir-permeabiliteten* er estimeret ved at multiplicere *Gas-permeabilitet* med en opskaleringsfaktor på 1,25.

⁹ *Reservoir-transmissiviteten* er estimeret ud fra tolkning af logdata samt analyse af kernedata. *Reservoir-transmissiviteten* er opskaleret til reservoirforhold.

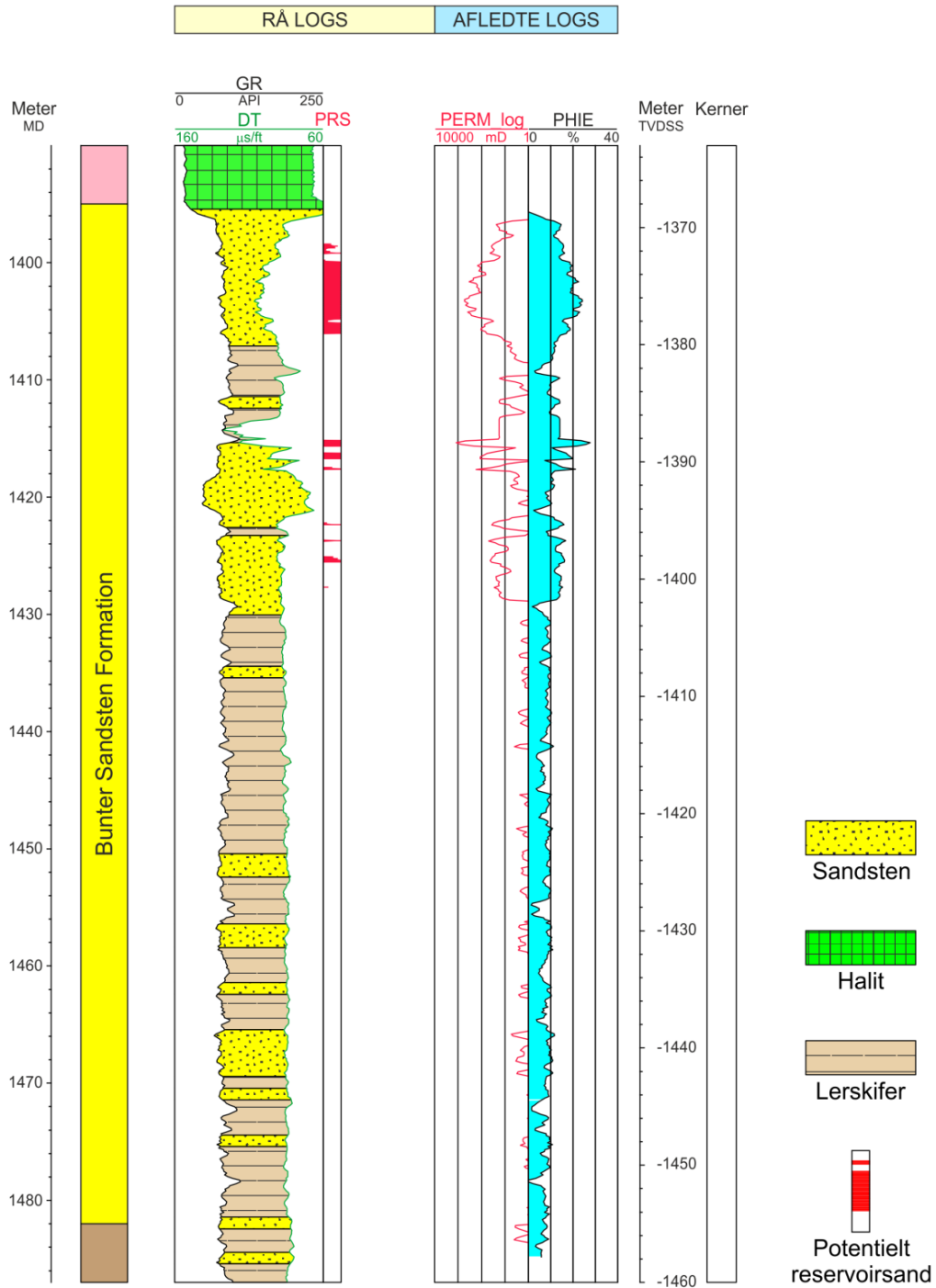
5.2.1 Tolkning af lithologi

På baggrund af logdata og eksisterende beskrivelser af opboret materiale har GEUS tolket variationen af den bjergartsmæssige sammensætning indenfor Bunter Sandsten Formationen, dvs. en tolkning af lithologien og primært fordelingen af sandsten og lersten (Figur 6 og 7). Oplysninger om lithologien fra borespåne-beskrivelser fra Varnæs-1, Åbenrå-1 og Rødekro-1 er meget sparsomme (Dansk Boreselskab 1981, DGU 1953, Dapco 1958). Bunter

Sandsten Formationen beskrives til hovedsageligt at bestå af lersten med kun få, underordnede indslag af sandsten. Sandstenene beskrives som meget fin til fin i kornstørrelse og ringe til moderat sorteret. Kvartskorn er subafrundede til velafrundede. Sandstenene kan være glimmerholdige og er som regel kalkcementerede, men en nærmere angivelse af cementeringsgraden fremgår ikke.

Overordnet set giver GEUS' logtolkning af lithologien en mere optimistisk vurdering af mængden af sandsten i Bunter Sandsten Formationen end det indtryk man får af sandstensindholdet ud fra borespåne-beskrivelserne. Her vil der blive lagt mest vægt på logtolkningerne i forhold til de noget overfladiske borespåne-beskrivelser. Det noget lavere sandstensindhold ifølge borespåne-beskrivelserne bidrager dog til den overordnede usikkerhed i vurderingen af mængden af sandsten i Varnæs-1, Åbenrå-1 og Rødekro-1 brønde og dermed også ved prognoselokaliteten.

Varnæs-1



Figur 7: Petrofysisk log-tolkning af Bunter Sandsten Formationen i Varnæs-1. Lithologikolonnen er afgrænset af gamma-ray (GR) og sonic (DT) loggene. Sektioner med Potentielt reservoirsand (PRS) er markeret med rødt fyld. Porøsitetsestimatet (PHIE) er fremhævet med lyseblåt fyld, og permeabilitetsestimatet (PERM_log) er plottet som en rød kurve. Logforkortelserne er forklaret i Tabel 5.4. Formationen er i boringen vist med dens vertikale tykkelse. MD: Målt dybde fra referencepunkt på boreplatform, TVDSS: Vertikale dybde under havniveau.

5.2.2 Vurdering af tykkelser, lerindhold og porøsitet

I Varnæs-1, Rødekro-1 og Åbenrå-1 er Bunter Sandsten Formationen henholdsvis 87, 79, 136 meter tyk, hvoraf andelen af sandsten (Gross sand) udgør ca. 30 meter i alle brøndene (Tabel 5.2). Tolkningen af Gross-sandets tykkelse er baseret på en forudgående tolkning af ler-mængden ud fra gamma-loggen, idet det antages, at mængden af ler er proportional med gamma-loggens respons fratrukket baggrundsstrålingen (Tabel 5.6). I Rødekro-1 er SP loggen dog anvendt, da en gamma-log ikke er optaget. På baggrund af tolkningen af ler-mængden er andelen af Gross sand herefter bestemt som den del af et givet dybdeinterval, der har et ler-indhold på mindre end 30 %.

For Varnæs-1 er det endvidere muligt at tolke formationens porøsitet samt hvor mange meter af formationens sandsten, der vurderes til at have gode reservoirgenskaber (givet ved Potentielt reservoirsand). Potentielt reservoirsand er vurderet ud fra den log-tolkede porøsitet samt lermængden, idet der både stilles krav til en vis minimumsporøsitet og et maksimalt lerindhold. GEUS har i den forbindelse valgt at definere Potentielt reservoirsand ud fra følgende kriterier: porøsiteten (PHIE) skal være større end 15 %, og samtidig skal lerindholdet (Vshale) være mindre end 30 %. Ud fra disse kriterier er mængden af Potentielt reservoirsand i Varnæs-1 vurderet til ca. 9 meter. Den gennemsnitlige porøsitet af reservoirsandet er ud fra log-tolkning bestemt til ca. 19 % i Varnæs-1. Porøsitetstolkningen er baseret på en ler-korrigeret sonic-log; en porøsitetsbestemmelse via en sonic-log er generelt set lidt mere usikker i forhold til en traditionel porøsitetsbestemmelse via en densitets-log.

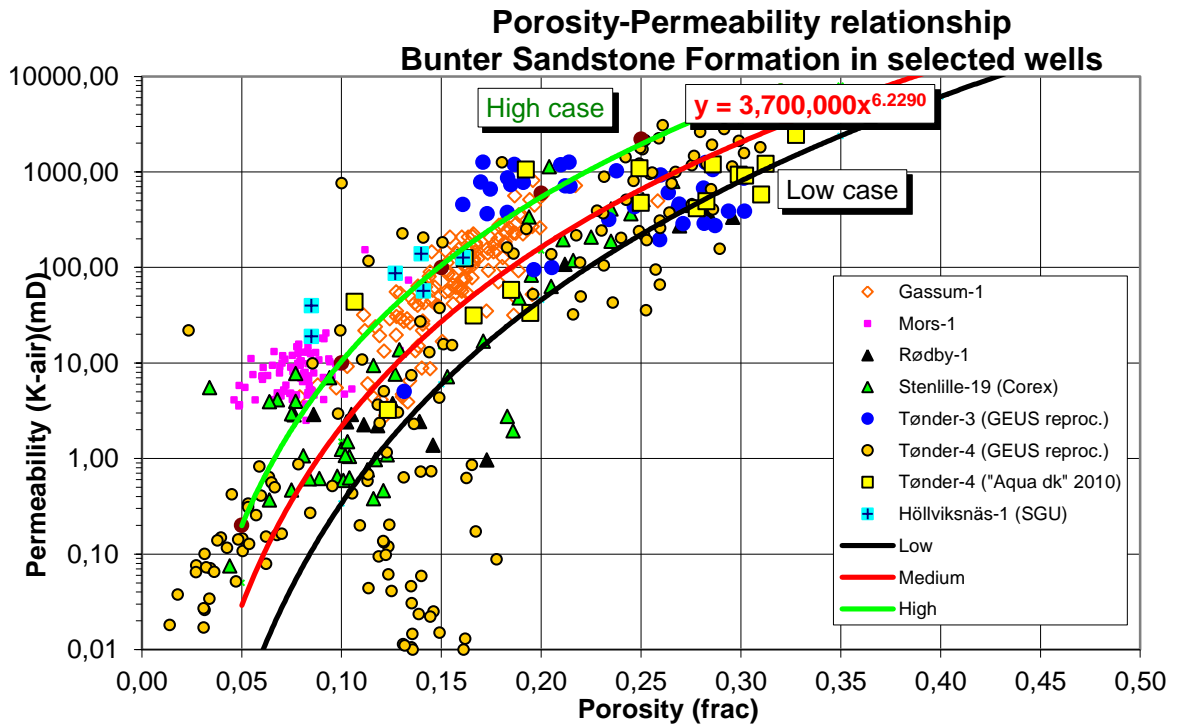
Tabel 5.6: Responsparametre for gamma-ray (GR) log for Varnæs-1 og Åbenrå-1 borerne.

Responsparametre for gamma-ray (GR) log	GR_min (baggrundsstråling)	GR_max (respons for rent ler)
Varnæs-1	47	160
Åbenrå-1	125	350

5.2.3 Permeabilitet

Permeabiliteten kendes ikke fra kerner i Haderslev-Aabenraa-området, da der ikke er udtaget kerner fra sandsten i forbindelse med udførelsen af Varnæs-1, Åbenrå-1 eller Rødekro-1 borerne. GEUS har dog tidligere bestemt en sammenhæng mellem kernepermeabilitet og porøsitet i Bunter Sandsten Formationen. Denne porøsitet-permeabilitetsrelation er baseret på kerneanalyzedata fra en række danske landboringer beliggende i Jylland og på Sjælland, foruden en i Skåne (Figur 8). GEUS forventer, at denne landsdækkende korrelation også gælder for Haderslev-Aabenraa-området, og permeabiliteten er dernæst beregnet for hver log-læsning, dvs. log-porøsiteterne er omregnet til log-permeabiliteter for hver halve fod (15 cm). Under anvendelse af de førnævnte 'cut-off' værdier er den gennemsnitlige gas-permeabilitet for reservoirsandstenene estimeret til ca.

175 mD (vægtet gennemsnit) svarende til en reservoir-permeabilitet på ca. 219 mD. Beregningen af reservoir-permeabiliteten bygger på en opskalering af de laboratoriebestemte gas-permeabiliteter til reservoirforhold efterfulgt af en omregning til væskepermeabilitet. De tre ovennævnte brønde (Varnæs-1, Åbenrå-1 og Rødekro-1) blev ikke prøvepumpet, og det er således ikke muligt at vurdere permeabiliteten ud fra testdata. Vurderingen af permeabiliteten bygger derfor i dette tilfælde på erfaringsmæssige sammenhænge, f.eks. som vist i Figur 8, og herudover er tidligere foretagne vurderinger af Bunter Sandsten Formationen udenfor studieområdet udnyttet.



Figur 8: Generaliseret sammenhæng mellem porøsitet og permeabilitet estimeret ud fra kerneanalyse data, dvs. målinger af porøsitet og permeabilitet på små plug prøver primært fra sandstenslag i Bunter Sandsten Formationen. Korrelationen er ikke entydig, og derfor er variationsbredden belyst med 3 tendens-linjer (Høj, Medium og Lav "cases"). Det antages at linjen med rød farve (Medium) med god tilnærmelse gælder for Haderslev-området. Bemærk at de plottede data stammer fra to Tønder-boringer samt boringerne Stenlille-19, Rødby-1, Mors-1 og Gassum-1, foruden Höllviksnäs-1 i Sverige.

5.2.4 Transmissivitet

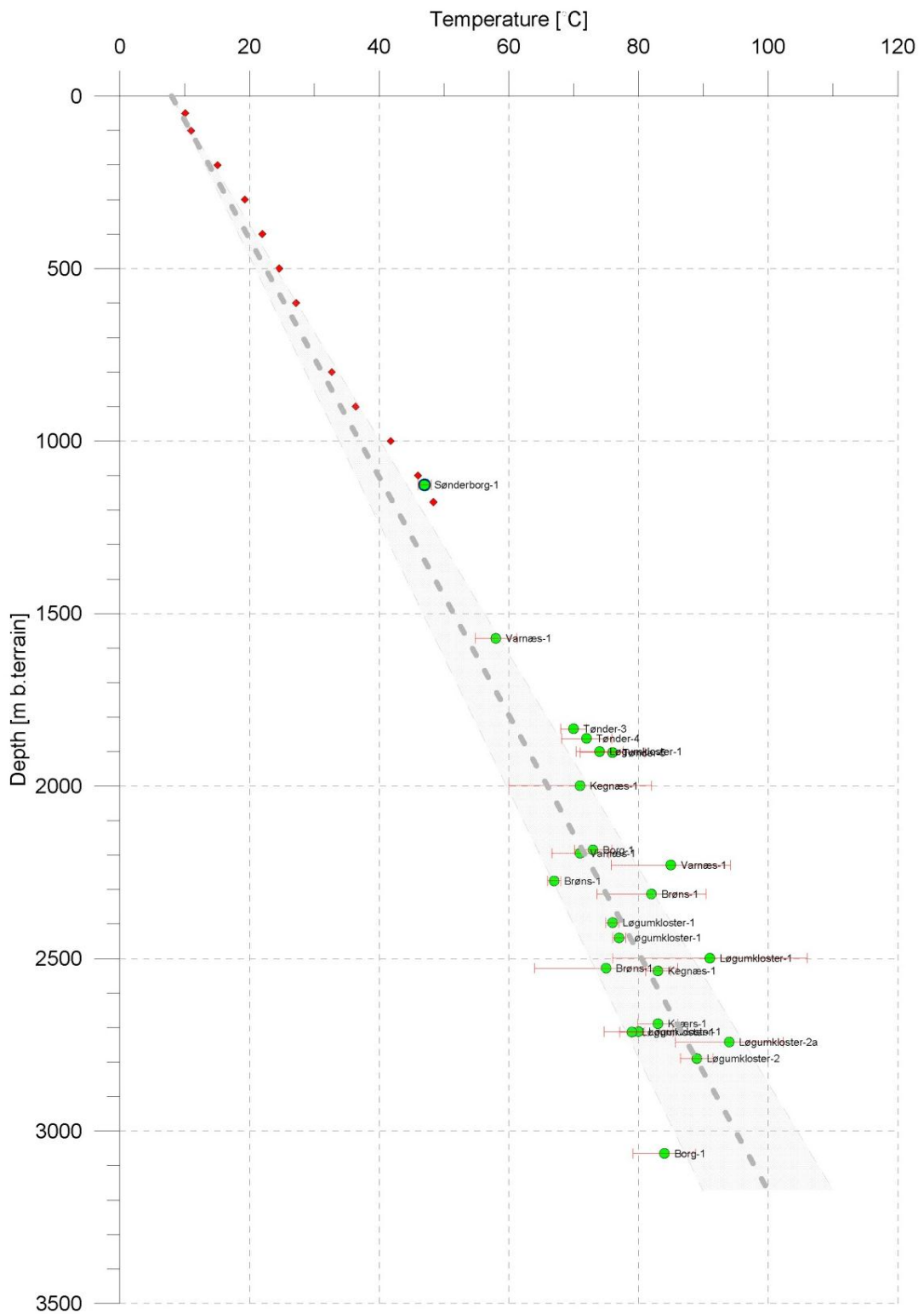
Endelig er den forventede transmissivitet beregnet på baggrund af den estimerede reservoir-permeabilitet ganget med tykkelsen af Potentielt reservoirsand. Kort beskrevet er transmissiviteten beregnet som en akkumuleret værdi baseret på de enkelte log-læsninger, de foretagne vurderinger af Potentielt reservoirsand efterfulgt af en erfaringsbaseret opskalering. Transmissiviteten er således en forventet reservoir-transmissivitet; denne er i Varnæs-1 vurderet til ca. 2 Darcy-meter (Dm) og ved prognoselokaliteten til ca.

5 Darcy-meter. På baggrund af det tilgængelige datamateriale vurderer GEUS, at usikkerheden på den forventede transmissivitet ved prognoselokaliteten mest hensigtsmæssigt kan beskrives ved en dividere/gange faktor på 7; svarende til at dividere, henholdsvis gange, den estimerede transmissivitet med denne faktor. Faktoren indeholder en samlet usikkerhed knyttet til estimeringen af permeabiliteten og tykkelsen af Potentielt reservoirsand samt til ekstrapolering af boringsdata til prognoselokaliteten.

5.3 Temperatur

Temperaturen i midten af Bunter Sandsten Formationen ved prognoselokaliteten er vurderet til $50\text{ °C} \pm 10\%$. Temperaturen er estimeret ud fra en generel dybde-temperatur relation for det sydlige Danmark givet ved: $\text{Temp.} = 0,029 \cdot \text{dybde} + 8\text{ °C}$. Relationen er baseret på temperaturdata fra dybe boringer i det sydlige Danmark, især de nye temperaturdata fra Sønderborg-1 (Balling & Bording 2013). Den anvendte dybde-temperatur relation viser en temperaturgradient, der generelt er lidt højere end for resten af Danmark ($\text{Temp.} = 0,027 \cdot \text{dybde} + 8\text{ °C}$) (Balling & Bording 2013; Poulsen et al. 2013).

Figur 9 viser den generelle dybde-temperatur relation for det sydlige Danmark baseret på temperaturdata fra brønde i regionen, samt et usikkerhedsbånd på $\pm 10\%$. Ved prognoselokaliteten er dybden i ligningen sat til 1465 meter, baseret på den estimerede dybde fra havniveau til toppen af formationen (1320 meter; se Tabel 3.1) tillagt terrænkote (45 meter) og estimerede antal meter fra top til centrum af formationen (100 meter).



Figur 9: Estimeret dybde-temperatur relation (grå stiplede linje) for det sydlige Danmark baseret på temperaturdata fra dybe brønde (Poulsen et al. 2013). Endvidere er der vist et usikkerhedsbånd på $\pm 10\%$. Temperaturdata fra de nærmeste dybe brønde til prognoselokaliteten er vist som punkter. Røde punkter repræsenterer temperaturmålinger i Sønderborg-1 brønden (Balling & Bording 2013).

5.4 Salinitet

Kendskab til formationsvandets saltholdighed og kemiske sammensætning er forudsætningen for at kunne vurdere, om der vil være risiko for kemisk udfældning under geotermisk udnyttelse af det varme vand. Udfældning af salt kan ske som følge af trykaflastning af vandet under oppumpning og/eller køling i det geotermiske anlæg. Størst effekt har temperatursænkningen, hvis formationsvandet er saltmættet med natriumklorid (NaCl) under reservoirforhold.

Formationsvandet i Bunter Sandsten Formationen er sandsynligvis saltmættet i områder, hvor der findes salt både under og over formationen. Dette er tilfældet i størstedelen af området syd for Ringkøbing–Fyn Højderyggen, idet der her forekommer Zechstein salt og Röt salt (Ørslev Formationen) henholdsvis under og over formationen. Udbredelsen af Zechstein salt op mod Ringkøbing–Fyn Højderyggen er bedre kendt end for Röt saltet. Dette skyldes, at målet for de fleste af de dybe borer i området var lag i Zechstein, der formodedes at rumme olie. Lagene blev derfor undersøgt grundigt ved udtagning af adskillige kerner. Dette var ikke tilfældet for Röt saltet, hvor der kun undtagelsesvis blev udtaget kerner, og hvor saltet hovedsageligt er påvist på baggrund af log-tolkninger. Logtolkningerne viser, at Röt salt sandsynligvis er til stede over Bunter Sandsten Formationen syd for Ringkøbing–Fyn Højderyggen med tykkelser på mellem 2 og 50 meter. I nogle borer består Röt lagene af vekslende anhydrit/kalksten og halit (salt), hvilket sandsynligvis afspejler aflejring i lavvandede områder på kanten af bassinet.

Tolkninger af logdata fra Rødekro-1 og Varnæs-1 indikerer, at Röt salt er til stede over Bunter Sandsten Formationen i tykkelser på henholdsvis ca. 20 og 16 meter (Figur 6). Hverken beskrivelser af skylleprøver eller beskrivelser af saltholdigheden i boremudder tyder dog på, at halit er til stede i Rødekro-1. Oplysninger om lithologien, baseret på beskrivelser af borespåner fra skylleprøver, er dog meget sparsomme for Rødekro-1 boringen. Endvidere kan tynde lag af halit være svære at spore i skylleprøver, især hvis boremudderet baserer sig på ferksvand, som tilfældet er for de tidlige efterforskningsboringer fra 1950'erne. I Åbenrå-1 boringen blev der dog heller ikke observeret halit, og logtolkningerne indikerer, at Bunter Sandsten Formationen her overlejres af et mere end 30 meter tykt lag af anhydrit (Figur 6). Det kan derfor ikke udelukkes, at udfældningen af Röt salt ikke var så udpræget i Aabenraa-Rødekro området og længere nordpå, hvilket i så fald vil kunne tilskrives en mere randnær og topografisk højereliggende aflejringsposition over flanken af Ringkøbing–Fyn Højderyggen. I langt de fleste af de øvrige dybe borer i Sønderjylland, er der dog påvist Röt salt over Bunter Sandsten Formationen, inklusiv i den nordligste boring, Arnum-1, som er beliggende cirka på højde med prognoselokaliteten, men længere mod vest (Figur 2). Det må derfor anses for sandsynligt, at der i perioder

også er udfældet Röt salt i Haderslev-området omend en mulig topografisk højereliggende position kan have forårsaget, at salttykkelserne her forblev relativ små. Det må derfor som udgangspunkt også antages, at formationsvandet i Bunter Sandsten Formationen er mættet eller næsten mættet under reservoirbetingelser i prognoseområdet, hvilket igen betyder risiko for udfældning af salt ved køling i forbindelse med geotermisk udnyttelse af vandet.

6. Referencer

Bachmann, G.H., Geluk, M.C., Warrington, G., Becker-Roman, A., Beutler, G., Hagedorn, H., Hounslow, M.W., Nitsch, E., Röhling, H.-G., Simon, T. & Szulc, A. 2010: Triassic. In: Doornenbal, J.C. & Stevenson, A.G. (eds): Petroleum Geological Atlas of the Southern Permian Basin Area. EAGE Publications b.v. (Houten), 149–173.

Balling, N. & Bording, T.S. 2013: Temperatur, temperaturgradienter og varmeledningsevne I den geotermiske boring Sønderborg-1/1A. Forskningsrapport, Institut for Geoscience, Aarhus Universitet, 12 pp.

Dansk Boreselskab 1981: Varnæs-1, Completion report.

Dapco 1958: Rødekro-1, Completion report.

DGU 1953: Åbenrå-1, Completion report.

Mathiesen, A., Kristensen, L., Nielsen, C.M., Weibel, R., Hjuler, M.L., Røgen, B., Mahler, A. & Nielsen, L.H. 2013: Assessment of sedimentary geothermal aquifer parameters in Denmark with focus on transmissivity. European Geothermal Congress 2013, Pisa, 3–7 June 2013.

Michelsen, O. & Clausen, O.R. 2002: Detailed stratigraphic subdivision and regional correlation of the southern Danish Triassic succession. *Marine and Petroleum Geology* 19, 563–587.

Michelsen, O., Saxov, S. Leth, J.A., Andersen, C., Balling, N., Breiner, N., Holm, L., Jensen, K., Kristensen, J.I., Laier, T., Nygaard, E., Olsen, J.C., Poulsen, K.D., Priisholm, S., Raade, T.B., Sørensen, T.R. & Würtz, J. 1981: Kortlægning af potentielle geotermiske reservoirer I Danmark. Danmarks Geologiske Undersøgelse Serie B, Nr. 5, 96 pp.

Nielsen, L.H. 2003: Late Triassic – Jurassic development of the Danish Basin and the Fennoscandian Border Zone, southern Scandinavia. In: Ineson, J.R. & Surlyk, F. (eds): The Jurassic of Denmark and Greenland. Geological Survey of Denmark and Greenland Bulletin 1, 459–526.

Nielsen, L.H. & Japsen, P. 1991: Deep wells in Denmark 1935–1990: Lithostratigraphic subdivision. Danmarks Geologiske Undersøgelse Serie A, 31, 177 p.

Olivarius, M. 2015: Diagenesis and provenance of Mesozoic sandstone reservoirs onshore Denmark. PhD Thesis. Geological Survey of Denmark and Greenland, Report 2015/19, 146 pp.

Poulsen, S.E., Balling, N. & Nielsen, S.B. 2013: Analysis of bottom hole temperatures on – and nearshore Denmark. Progress report, Department of Geoscience, Aarhus University, 22 pp.

Vejbæk, O.V. & Britze, P. 1994: Geologisk kort over Danmark/Geological map of Denmark 1:750.000. Top præ-Zechstein/Top pre-Zechstein. Danmarks Geologiske Undersøgelse Kortserie, 45, 9 pp.